

Analiza końców RNA; techniki badania transkrypcji

Michał Koper, IGiB UW

Sposoby badania transkryptów

Obecność w komórce
(*Steady state transcript*):

- Technika **northern-blot**
- **RT-PCR**
- **RT-qPCR**
- **SAGE** (*serial analysis of gene expression*)
- Mikromacierze
- **Hybrydyzacja *in situ* (tech. mikroskopowa)**
- **RNAseq:**
Wysokoprzepustowe
sekw. transkryptomów

Badania *in statu nascendi*
(*Nascent transcript*):

- **TRO** (*Transcription Run-On*)
- **FRAP** (*Fluorescence Recovery After Photobleaching; tech. mikroskopowa*)

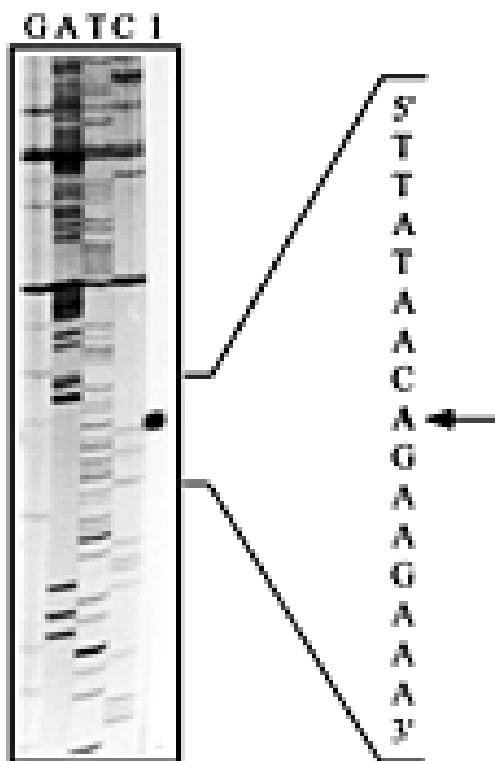
Badania oddziaływań białek–DNA/RNA *in vivo* :

- **ChIP** (*ImmunoPrecipitacja Chroamtyny*), np. obecność Pol RNA na genie; oddz. TFs – DNA; „**ChIP on CHIP**”
- **RIP** (*ImmunoPrecipitacja RNA*), np. oddziaływanie białek RRM z RNA
- **DIP** (*ImmunoPrecipitacja DNA*)
- **CLIP** (*in vivo Cross-Linking and ImmunoPrecipitation; kompleksy RNA-białka*)

Analiza końców 5' i 3' RNA

Technika „wydłużania startera”

Wyznaczanie miejsca startu transkrypcji (ang. „primer extension”)



Przyłączanie (znakowanego radioaktywnie) GS
startera do 5' końca



Odwrotna transkrypcja



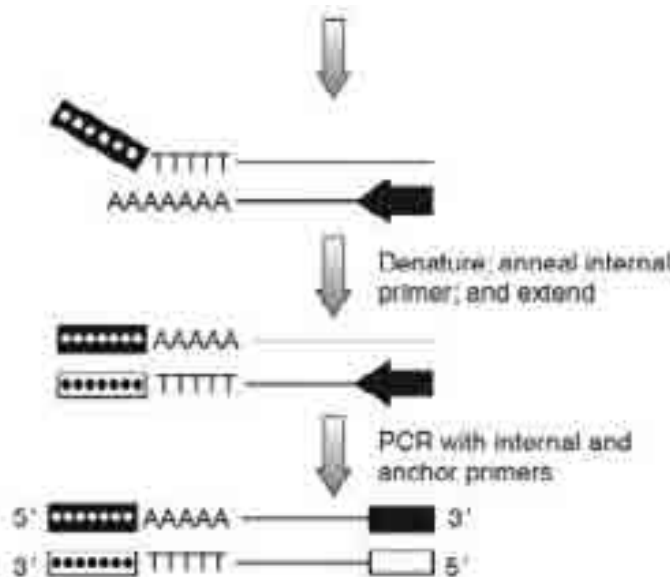
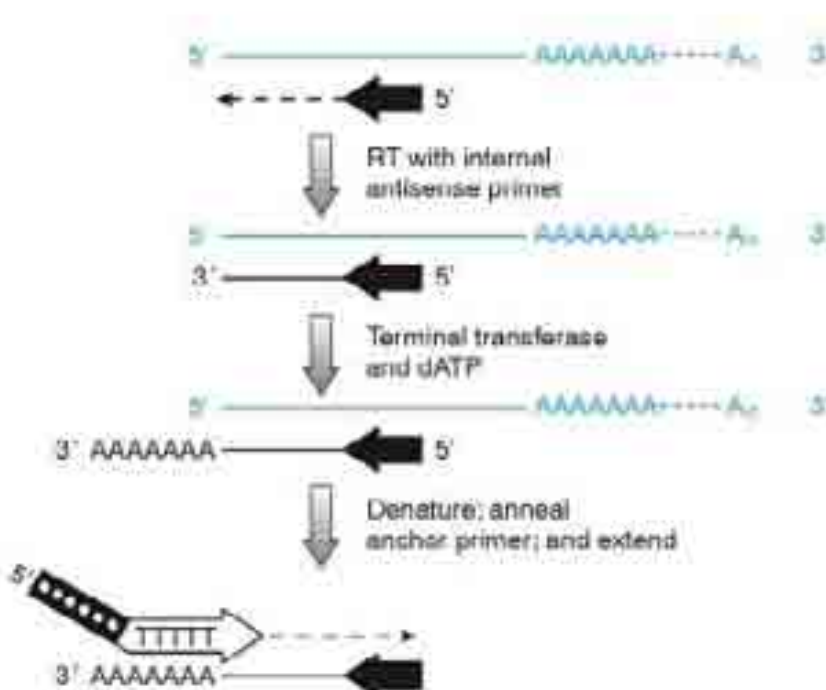
Rozdział w żelu poliakrylamidowym razem z
reakcjami sekwencjonowania prowadzonymi z tego
samego startera

T.-R. Lee, H.-P. Hsu, and G.-C. Shaw,
2001, J. Biochem. Vol. 130, pp. 569-574

Analiza końców 5' RNA – 5' RACE

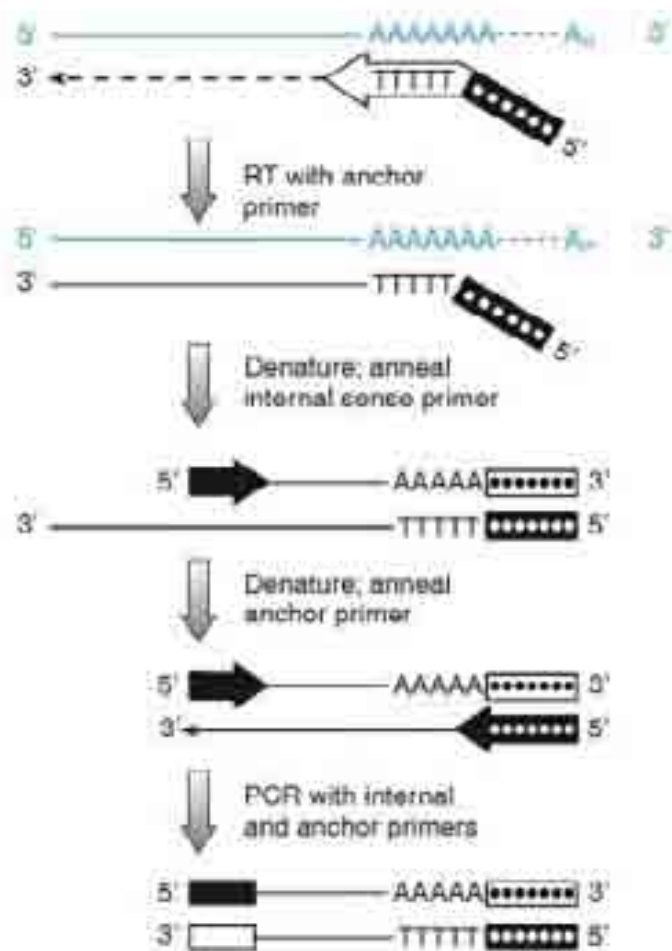
Rapid Amplification of 5'cDNA Ends

jednostronny PCR
zakotwiczony PCR



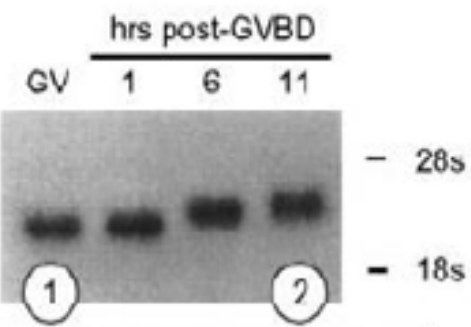
Analiza końców 3' poliadelynowych RNA – 3' RACE

Rapid Amplification of 3'cDNA Ends

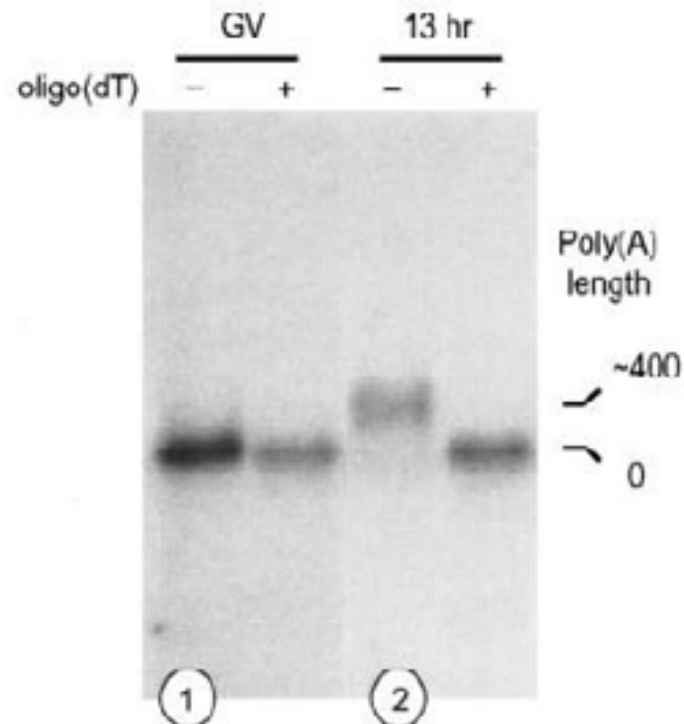
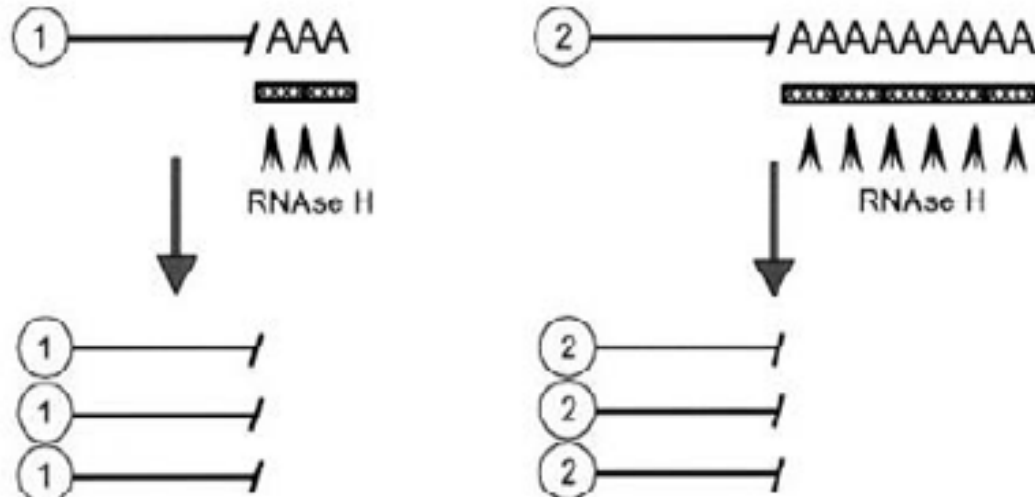


Metody analizy końców poliA - 1

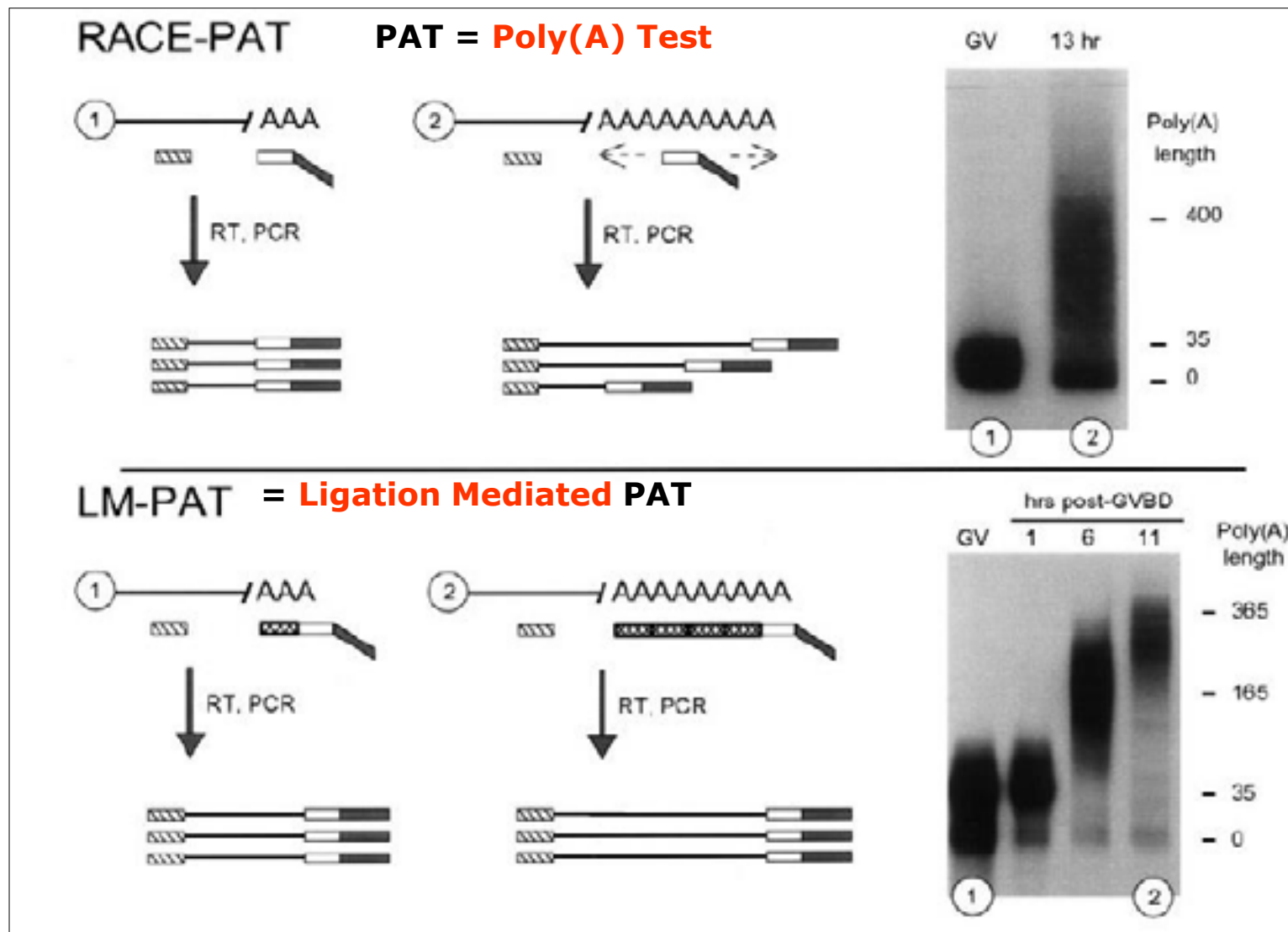
Northern



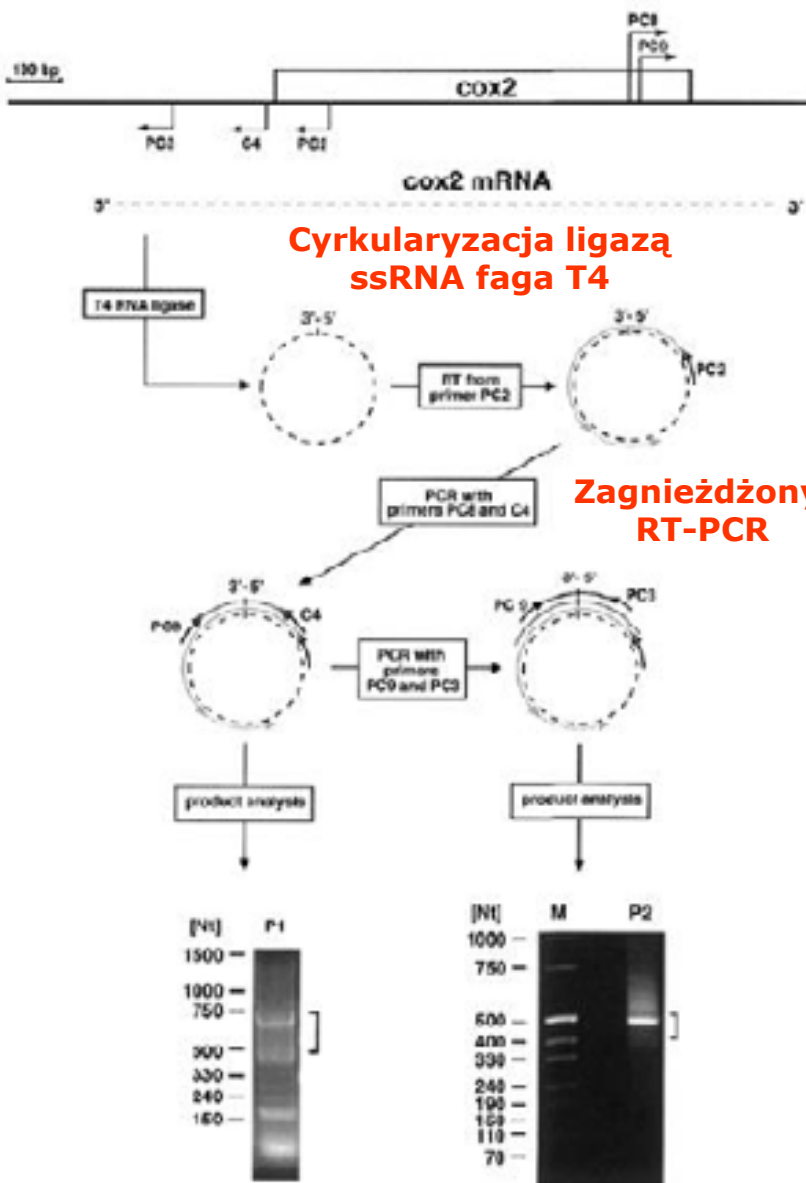
Oligo(dT)/RNase H Northern



Metody analizy końców poliA - 2



Cyrkularny RT-PCR (cRT-PCR)



Analiza 5' i 3' końców mitochondrialnego transkryptu COX2 u roślin

Khun i Binder, NAR, 2002.

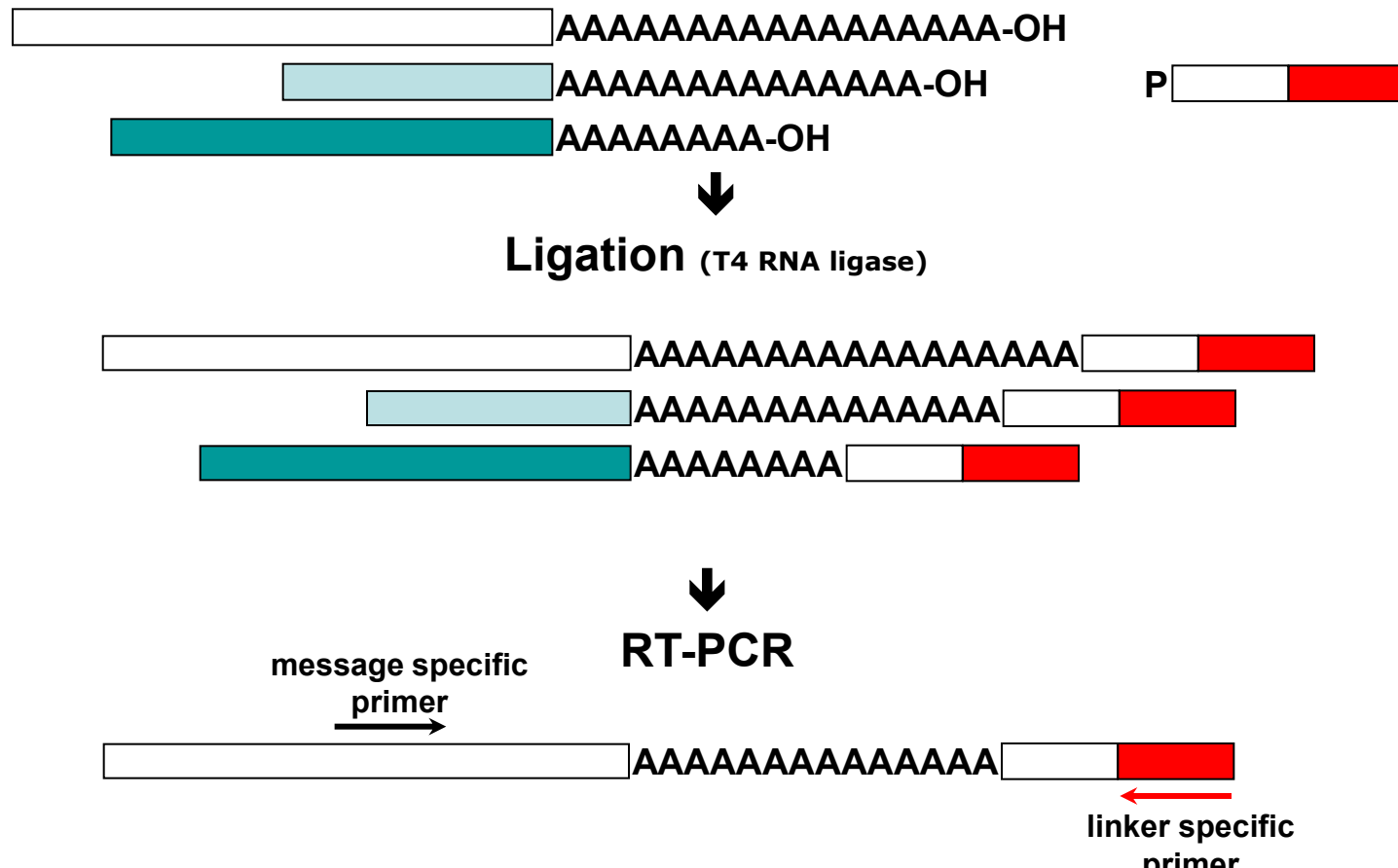
1	TCGCAATAGCGAGCCTACTTATCGCTTTTT -	AGAAAGAA...
3	TCGCAATAGCGAGCCTACTTATCGCTTTTT -	GATAGAAA...
1	TCGCAATAGCGAGCCTACTTATCGCTTTTT -	AGAAAGAA...
1	TCGCAATAGCGAGCCTACTTATCGCTTTTT -	TAGAAAGA...
1	TCGCAATAGCGAGCCTACTTATCGCTTTTT -	AGAAAGAA...
1	TCGCAATAGCGAGCCTACTTATCGCTTTTT -	-273
1	TCGCAATAGCGAGCCTACTTATCGCTTTTT -	AGAATCGT...
1	TCGCAATAGCGAGCCTACTTATCGCTTTTT -	ATCGTTCA...
1	TCGCAATAGCGAGCCTACTTATCGCTTTTT -	-269
1	TCGCAATAGCGAGCCTACTTATCGCTTTTT -	TCGTTCAG...
1	TCGCAATAGCGAGCCTACTTATCGCTTTTT -	-291
1	TCGCAATAGCGAGCCTACTTATCGCTTTTT -	ATCACGTA...
2	TCGCAATAGCGAGCCTACTTATCGCTTTTT -	TCGTTCAG...
2	TCGCAATAGCGAGCCTACTTATCGCTTTTT -	-261
1	TCGCAATAGCGAGCCTACTTATCGCTTTTT -	TAGGCTAA...
1	TCGCAATAGCGAGCCTACTTATCGCTTTTT -	-297
		GTAGGCTA...

Σ 15

Cyrkularny RT-PCR (cRT-PCR) cd.

- Ligaza RNA liguje cząsteczki RNA pozbawione czapeczki na końcu 5'
- Gdy badamy cząsteczki z czapeczką, aby wykryć RNA należy czapeczkę usunąć
- Czapeczkę można usunąć kwaśną pirofosfatazą z tytoniu (TAP, bardzo drogi enzym) lub trawiąc dupleksy RNA-DNA RNazą H (ma sens gdy RNA jest wysoko eksprymowany, znamy dokładnie 5' koniec transkryptu i nie interesują nas alternatywne 5' końce)

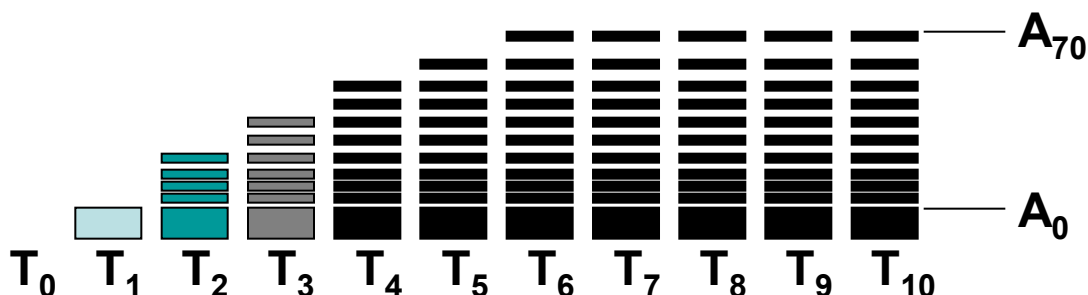
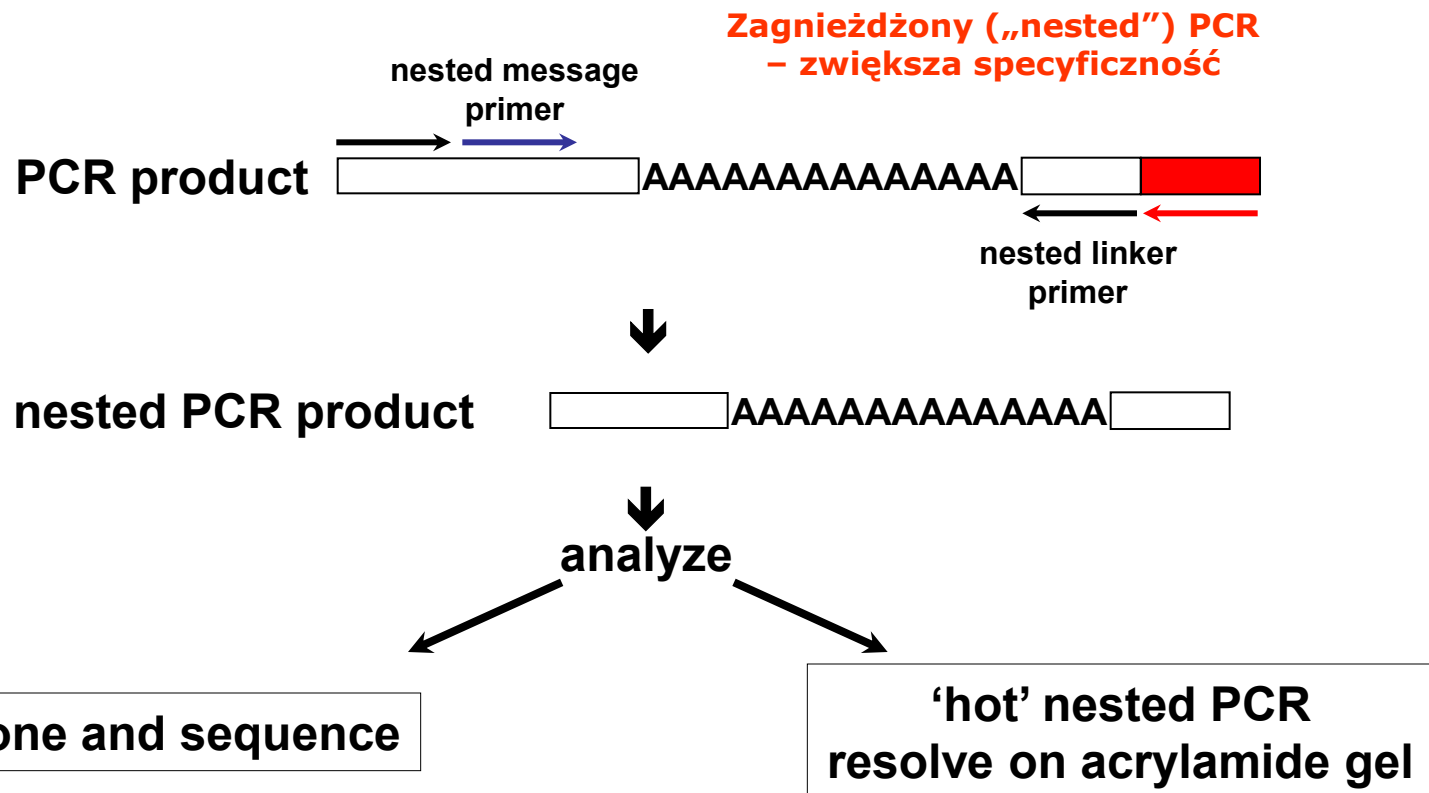
PASE: Poly(A) status examination



Dzięki uprzejmości B. Dichtla

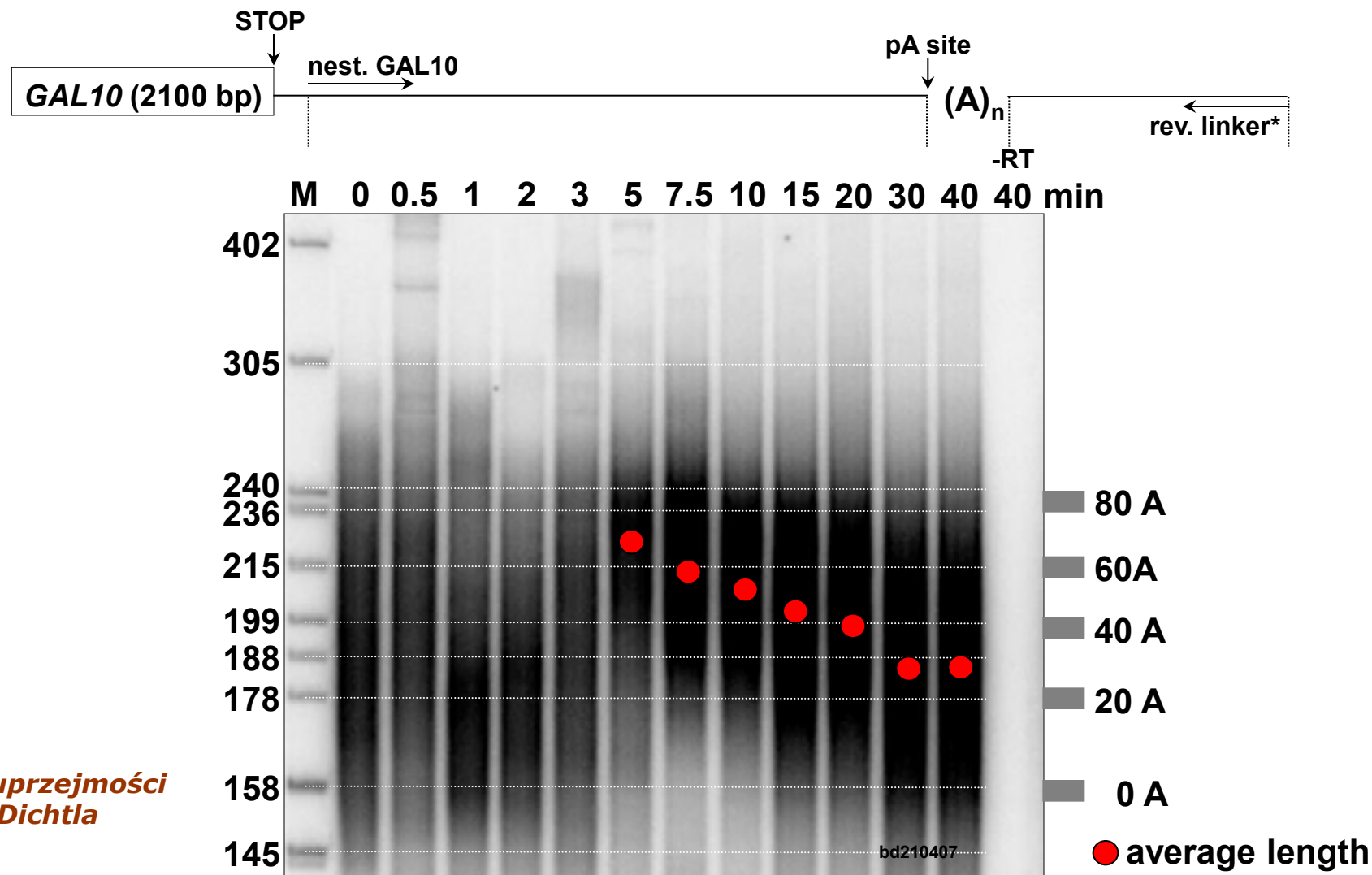
Mariconti et al., RNA, 2010

PASE: Poly(A) status examination



Dzięki uprzejmości
B. Dichtla

Badanie PASE długości końców polA mRNA GAL10



Dzięki uprzejmości
B. Dichtla

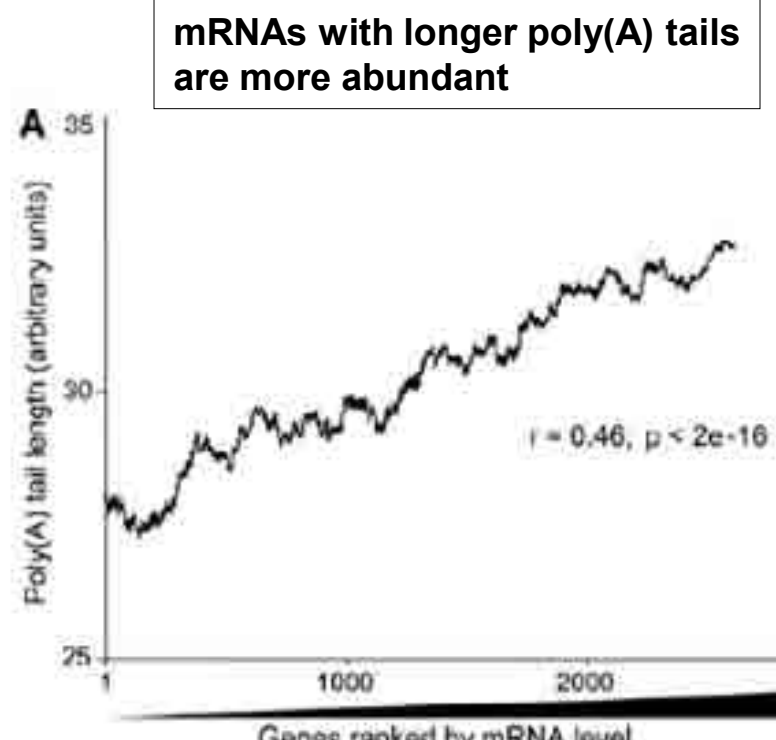
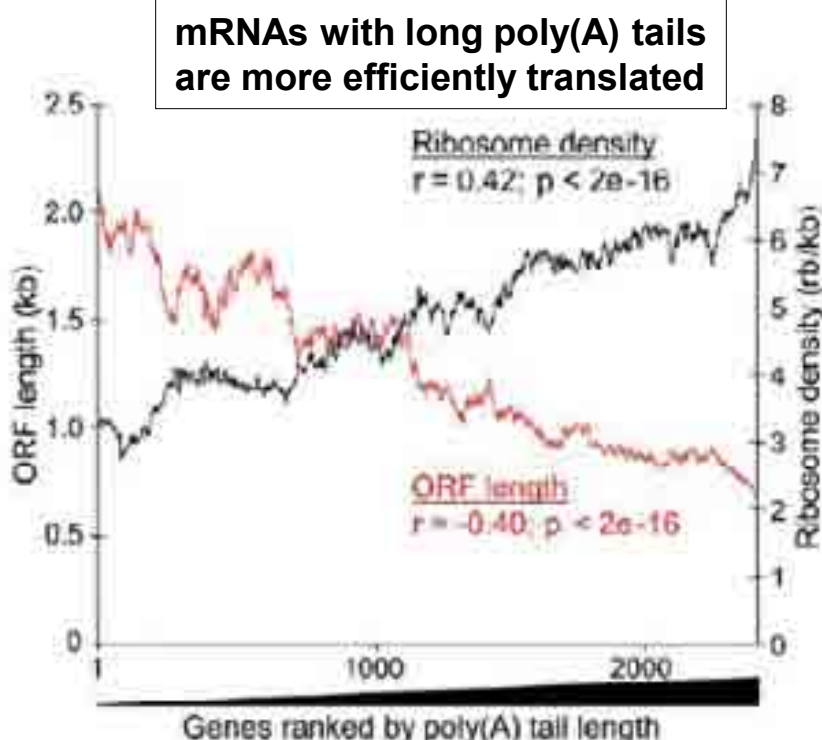
Znaczenie długości końców poliA

Za: Lackner et al., Mol. Cell, 2007

- 20% mRNAs with longest poly(A)
GO: biosynthesis, cytoplasm, ribosome

NO correlation of poly(A) length and mRNA stability!

- 20% mRNAs with shortest poly(A)
GO: nuclear lumen, nucleolus, RNA metabolism, ribosome biogenesis



Polecane publikacje

Published as: *Mol Cell*. 2008 October 24; 32(2-3): 247–258.

Polyadenylation Linked to Transcription Termination Directs the Processing of snoRNA Precursors In Yeast

Pawel Grzechnik¹ and Joanna Kufel^{1*}

¹Institute of Genetics and Biotechnology, Faculty of Biology, University of Warsaw, Pawinskiego 5a, 02-106 Warsaw, Poland

Published as: *Mol Cell*. 2007 April 13; 26(1): 145–155.

A Network of Multiple Regulatory Layers Shapes Gene Expression in Fission Yeast

Daniel H. Lackner¹, Traude H. Beilharz^{2,3}, Samuel Marguerat¹, Juan Mata^{1,4}, Stephen Watt¹, Falk Schubert¹, Thomas Preiss^{2,3}, and Jürg Bähler^{1*}

¹Cancer Research UK Fission Yeast Functional Genomics Group, Wellcome Trust Sanger Institute, Hinxton, Cambridge CB10 1HH, UK.

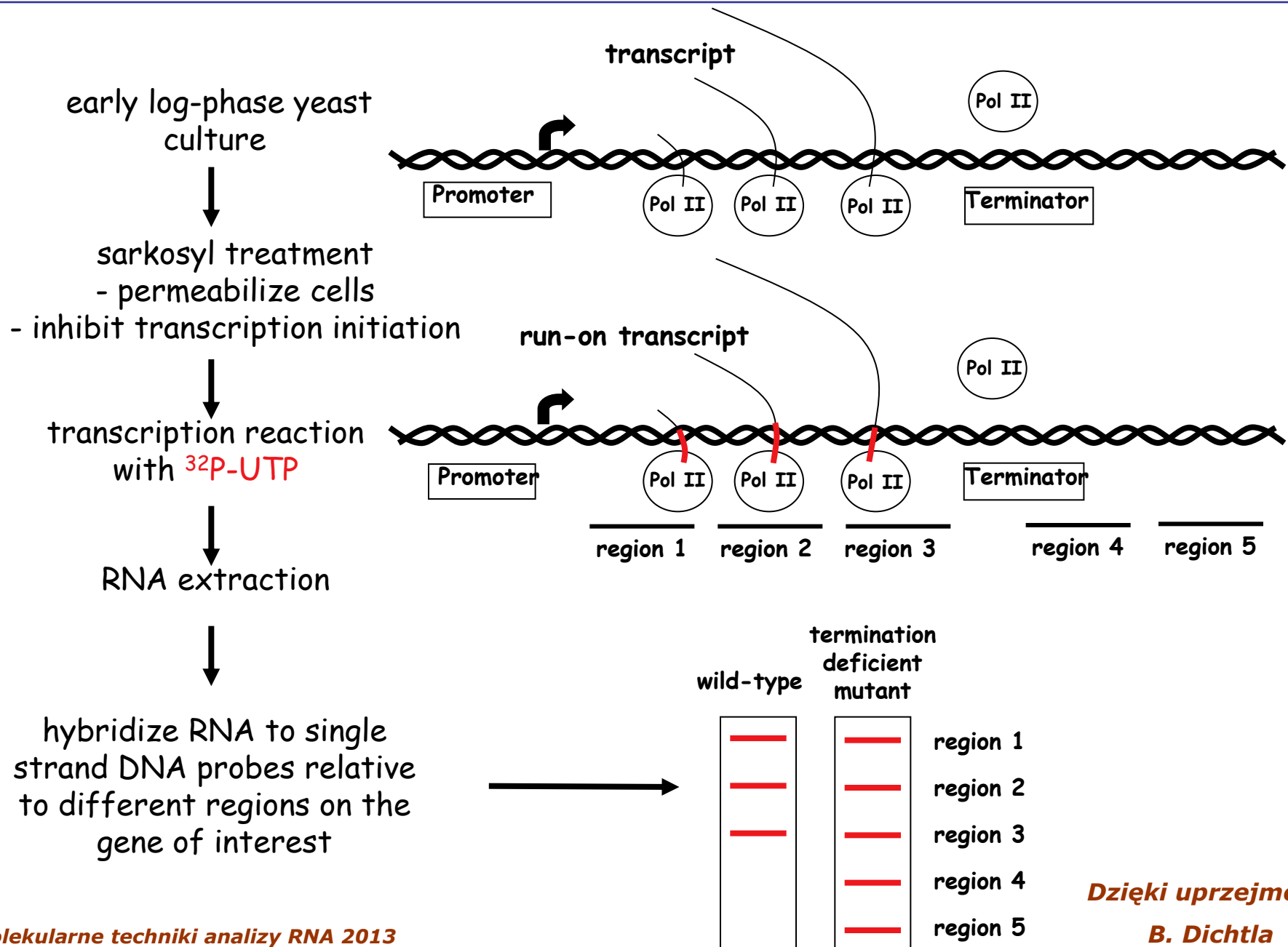
²Molecular Genetics Program, Victor Chang Cardiac Research Institute, Darlinghurst, NSW 2010, Australia.

³St Vincent's Clinical School and School of Biotechnology and Biomolecular Sciences, University of New South Wales, Sydney, NSW 2052, Australia.

Techniki badania transkrypcji

Technika „*Transcription Run ON*”

Transcription Run-On (TRO)



Sondy stosowane w TRO

Sondy o długości od ok. 70 do 400 nt., antysensowne dla badanych transkryptów:

- ssDNA otrzymany z fagmidów pochodnych M13 ze sklonowanymi fragmentami badanych genów
- Oligonukleotydy (zwykle 70-85 nt)
- RNA transkrybowany *in vitro* (np. z promotora T7)
- Produkty PCR
- Całe plazmidy dsDNA

Przygotowanie filtrów do TRO

Standardowe membrany
nylonowe dla kwasów
nukleinowych np. Amersham
Hybond N.

Nanoszenie próżniowe np.
Bio-Rad slot/dot blotter.

Ilości nakładanych sond zależą od poziomów ekspresji badanych transkryptów, np. dla ACT1, 25s czy 18s rRNA – 5 µg oligonukletydów 75 nt. lub 5 µg sond ssDNA M13 (ok. 250 nt.).



Wykonanie TRO – transkrypcja *in vivo*

Dla drożdży, zmodyfikowano za Birse et al., Science 280 (1998):

Hodowla komórek do $OD_{600} \sim 0,2-0,3$ (0,1-0,4).

Permabilizacja sarkozylem – sarkozyl rozbija kompleksy – „zdziera” białka oddziałyujące z polimerazą – jakakolwiek indukcja przed zbieraniem komórek!

Transkrypcja z mieszaniną AGC i ^{32}P -UTP przez 5 min. – dłużej nie ma sensu bo i tak polimeraza „odpada” po kilkudziesięciu-kilkuset sek.

Wykonanie TRO – izolacja piętnowanego RNA i hybrydyzacja

Izolacja RNA dowolną metodą, np. „fenol na gorąco”, GTC/fenol/kulki cyrkoniowe.

Hydroliza RNA w roztworze NaOH przed nałożeniem na filtry. W zależności od czasu trwania hydrolizy różne wielkości otrzymywanych fragmentów.

Hybrydyzacja, płukania i ekspozycja podobnie jak np. w technice northern-blot.

Zastosowanie i warianty TRO

Oznaczenia ilościowe:

- Badanie aktywności transkrypcyjnej (mocy) promotorów
- Wyznaczanie „transcription rates” dla poszczególnych genów
- Różnice w aktywności transkrypcyjnej pomiędzy mutantami czy pod wpływem czynników zew.

Oznaczenia jakościowe:

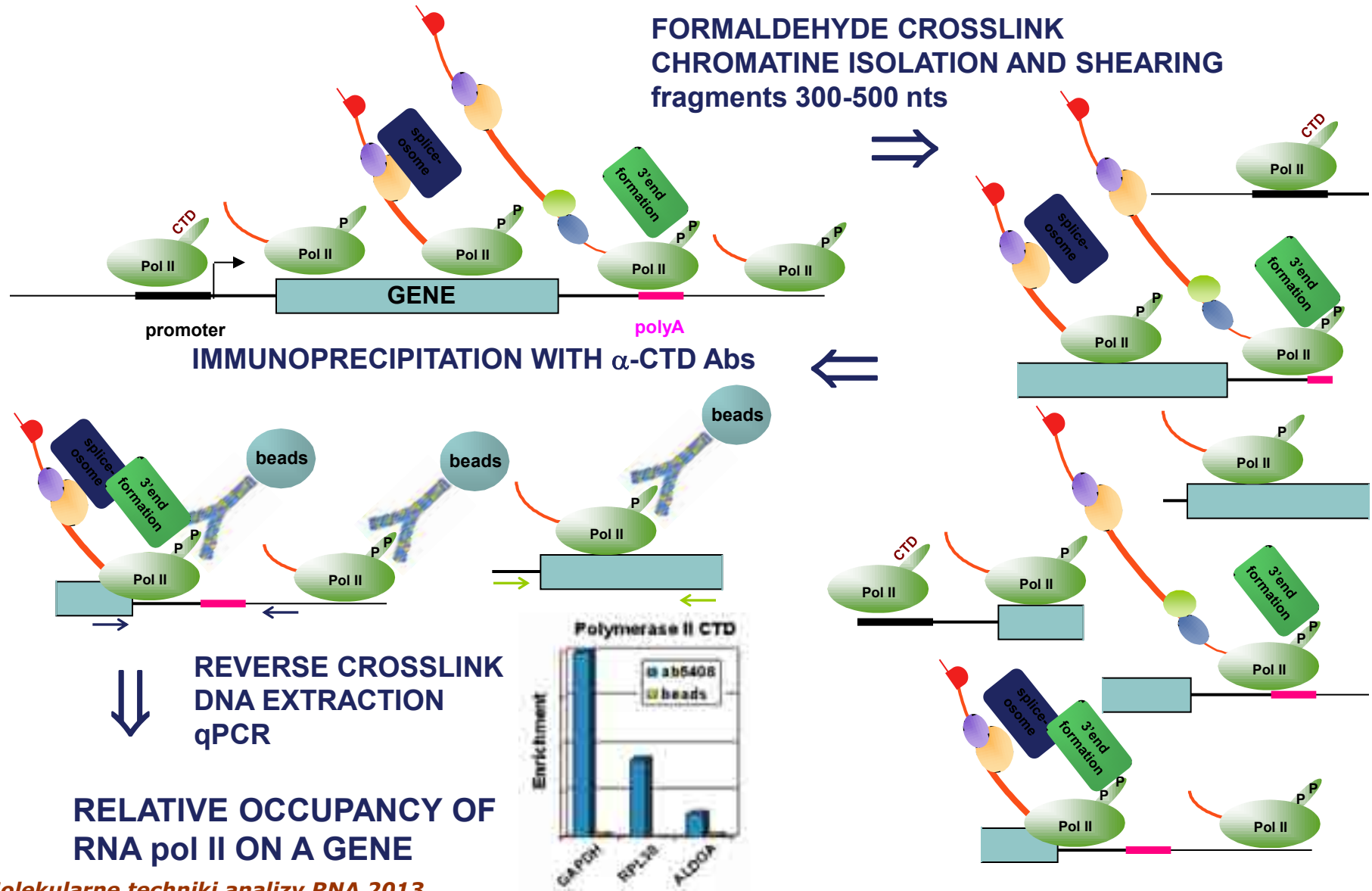
- Badanie defektów terminacji transkrypcji (*read-through*)
- Rozróżnienie pomiędzy samą obecnością RNA Pol a syntezą RNA

Warianty TRO:

- Jądrowy Run-On, na izolowanych jądrach komórkowych: Gariglio (1981) i Brown (1984)
- Mitochondrialny Run-On, na izolowanych mitochondriach

Immunoprecypitacja chromatyny - ChIP

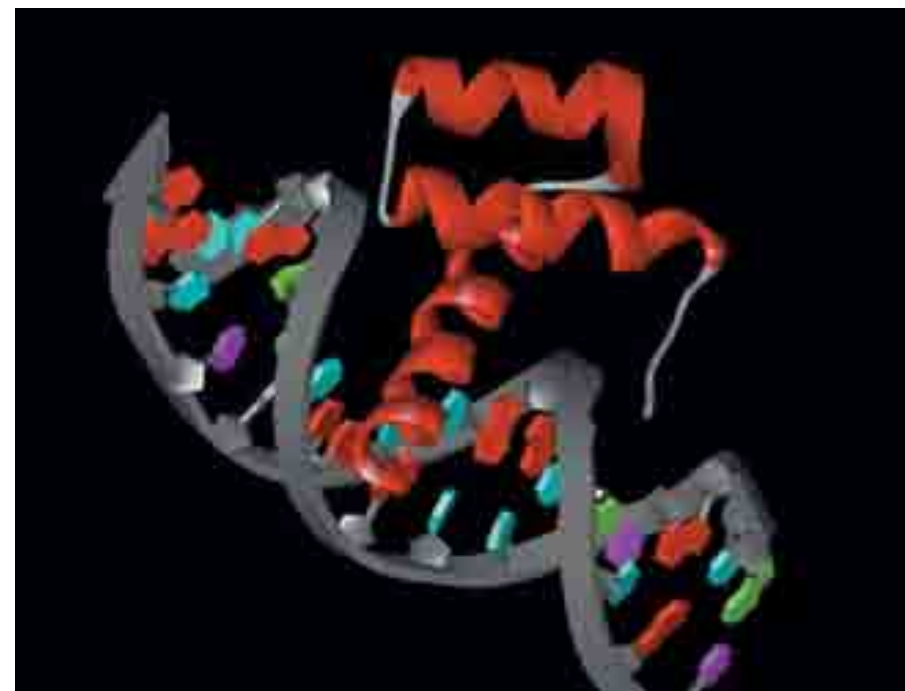
Immunoprecypitacja chromatyny - ChIP



Zastosowania ChIP

Badanie oddziaływań białka-DNA *in vivo*!

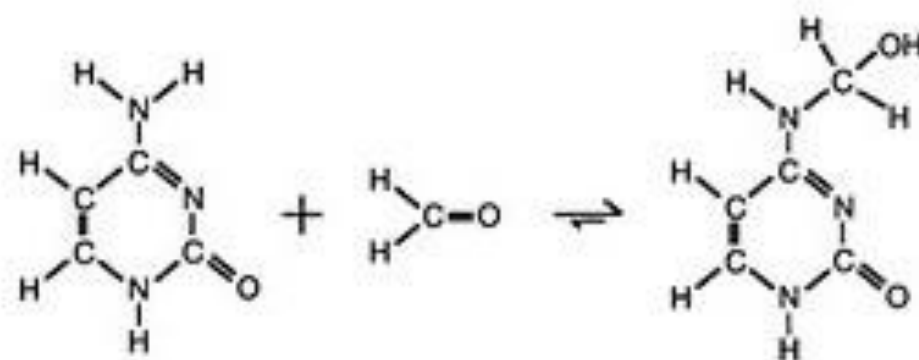
- Miejsca wiązania czynników transkrypcyjnych
- Obecność (dystrybucja) Pol RNA wzdłuż chromatyny (genów)
- Modyfikacje histonów
- Czynniki remodelujące chromatynę



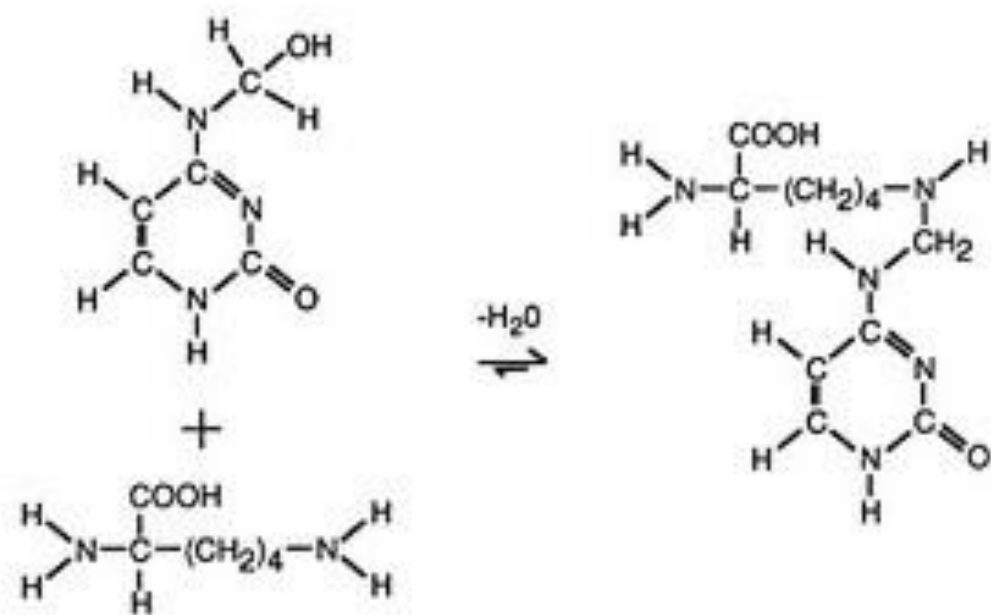
Czynnik sieciujący: formaldehyd



Reakcja 1 (powstaje zasada Shiffa)



Reakcja 2

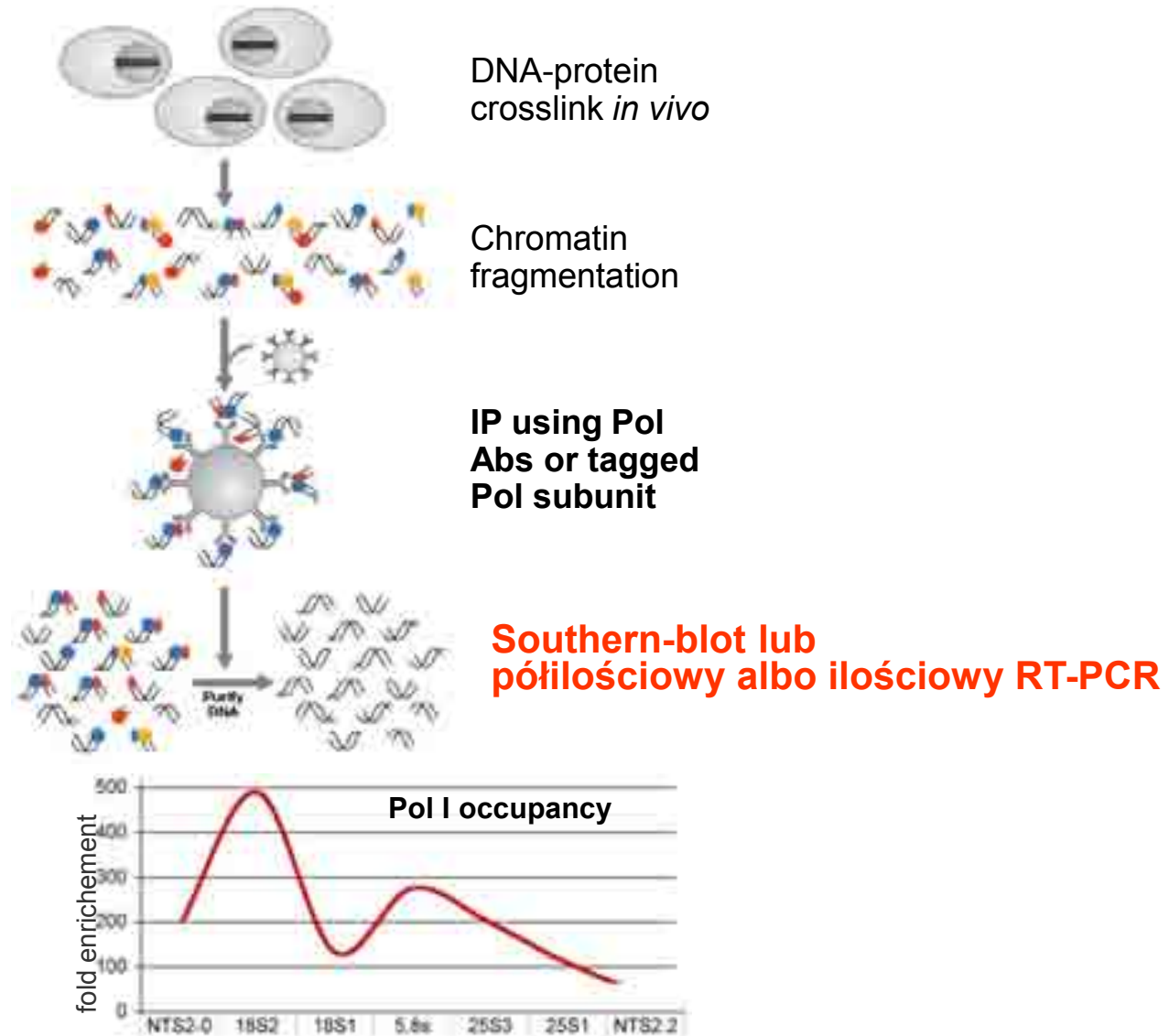


Rozdzielczość a specyficzność sieciowania

- Sieciowanie *in vivo*, duża reaktywność formaldehydu
- Za to duża rozdzielczość: 2Å
- Problem z sieciowaniem słabiej oddziałujących białek z DNA (większe odległość)
- Inne czynniki sieciujące (np. DTBP)

Procedura ChIP

Chromatin Immunoprecipitation (ChIP)



Terminacja transkrypcji Polimerazy I RNA

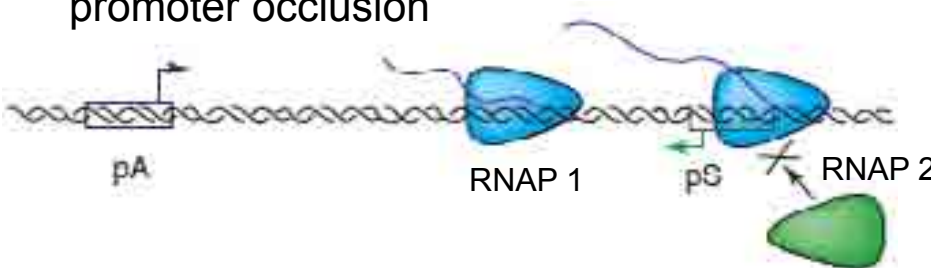
WHY TERMINATE?

Very few genes in eukaryotic organisms are organized in polycistronic units (exceptions: ncRNAs, mtRNAs)

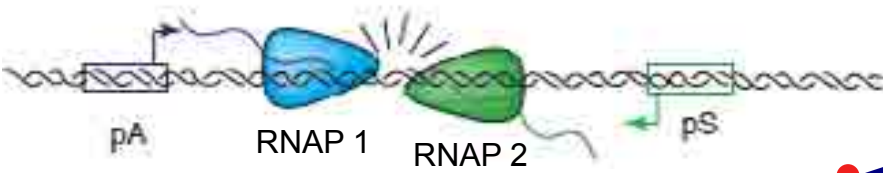
Defective transcription termination may result in the inhibition of gene expression

1. during transcription

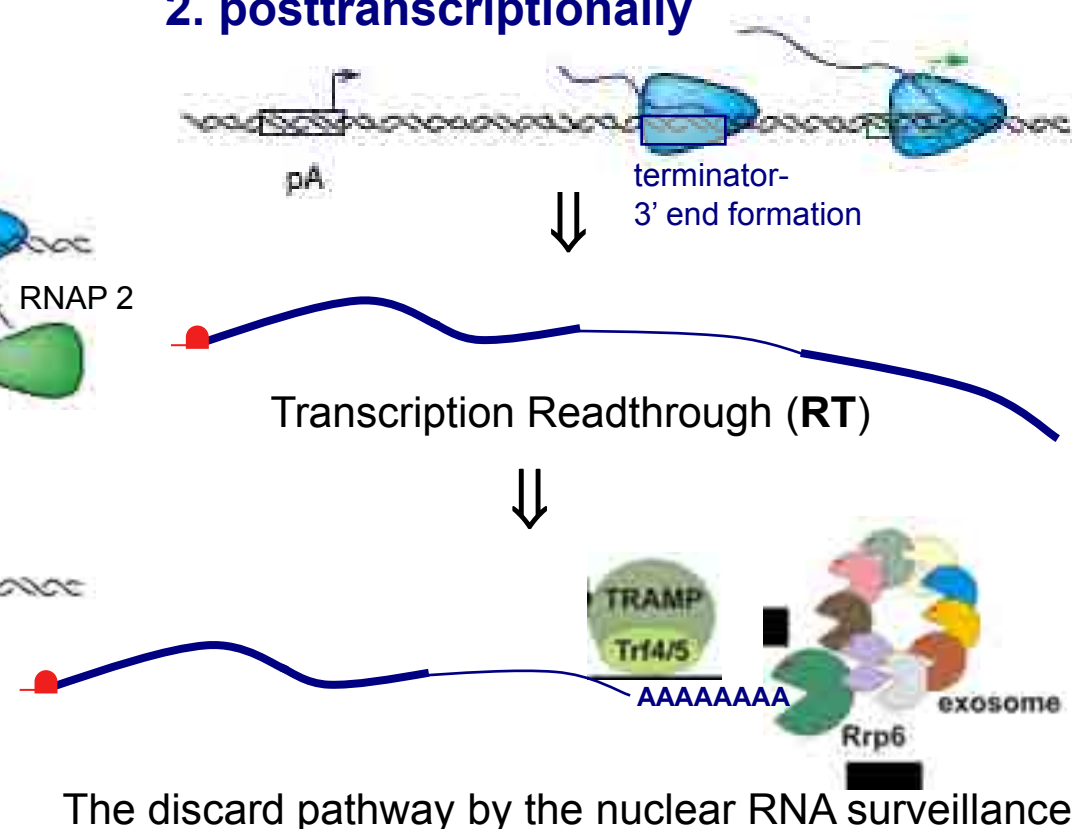
promoter occlusion



RNAP collision

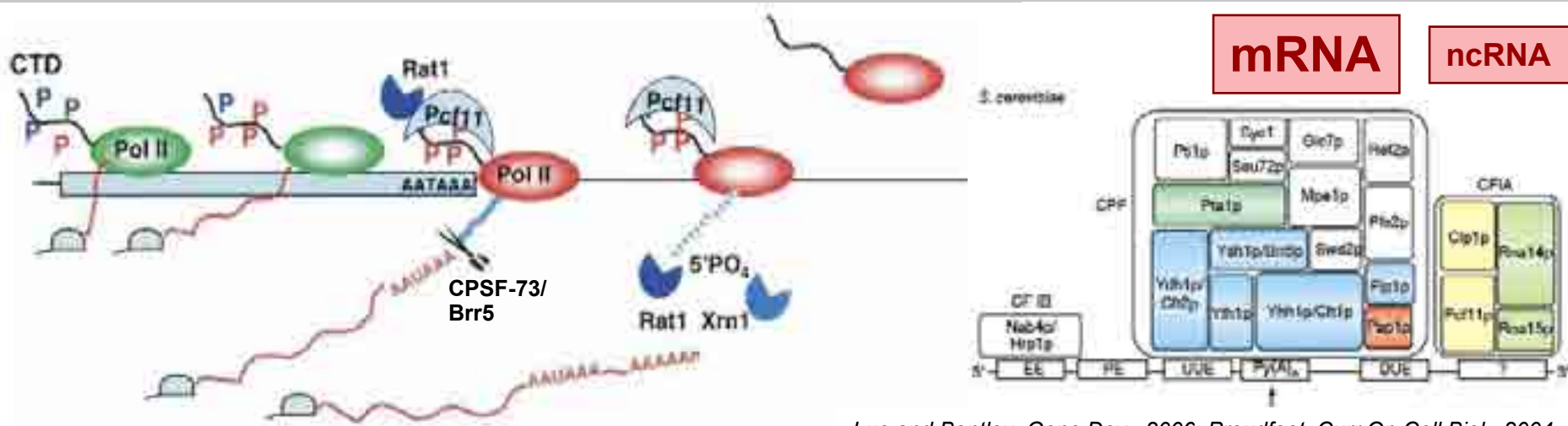


2. posttranscriptionally



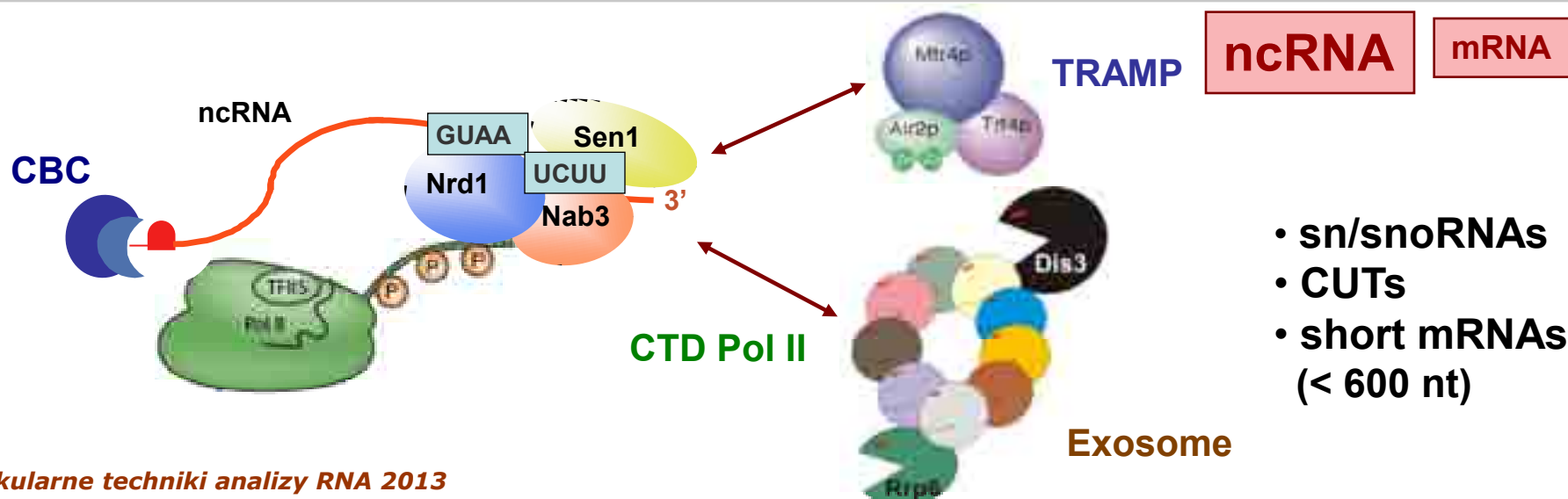
TRANSCRIPTION TERMINATION by Pol II

3' end CLEAVAGE and POLYADENYLATION allosteric::torpedo model

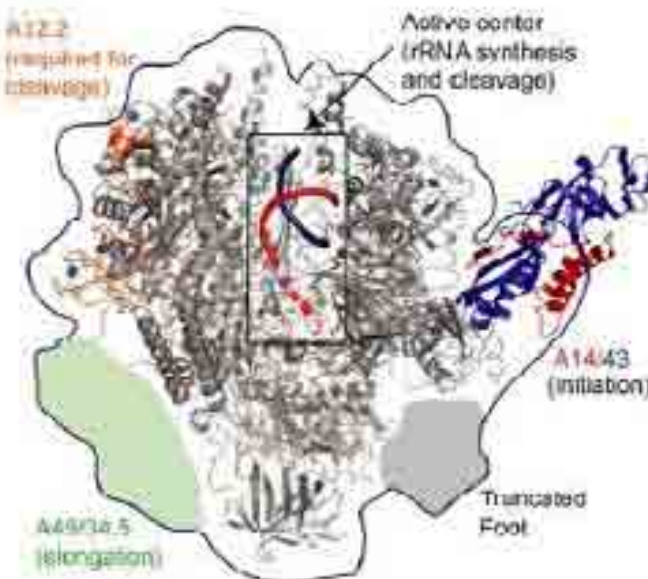
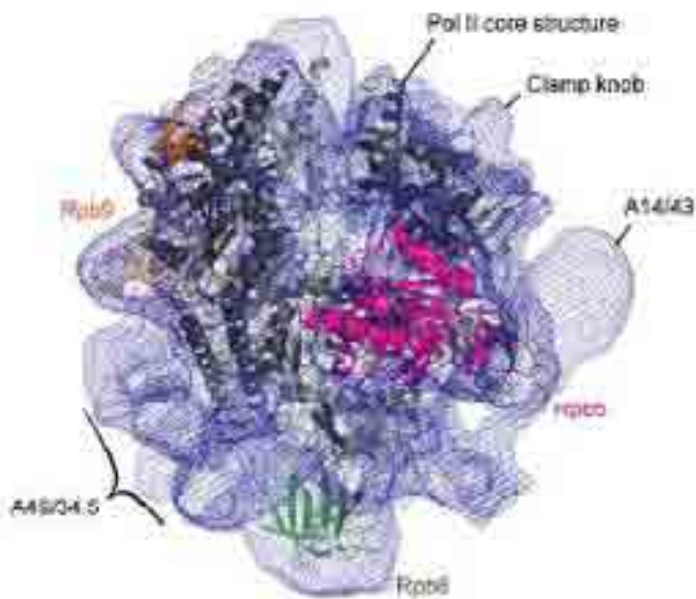


Luo and Bentley, Gene Dev., 2006; Proudfoot, Curr.Op.Cell.Biol., 2004

Nrd1/Nab3/Sen1- DEPENDENT TERMINATION



Eukariotyczna RNA Pol I

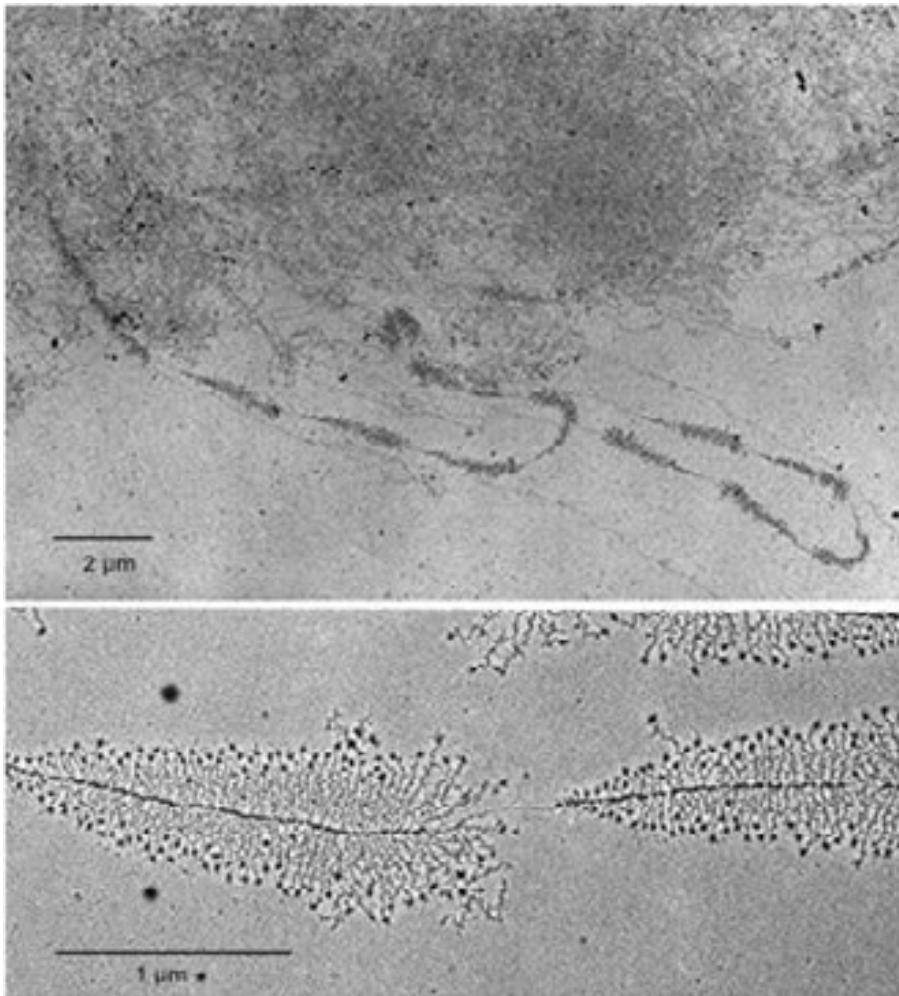


Kuhn et al, Cell, 2007 (Cramer's lab)

- 14 subunits
- core by specific **A190, A135, AC40, AC19, A12.2** subunits
- **Rpb5-6, 8, 10 and 12** - shared by Pol I-III
- specific subcomplexes **A14/A43** and **A49/A34.5**
- **no CTD**
- has intrinsic 3' RNA cleavage activity (**A12.2/Rpa12**) - possible roles in proofreading and **transcription termination**

Geny rDNA zebrane są w jąderku

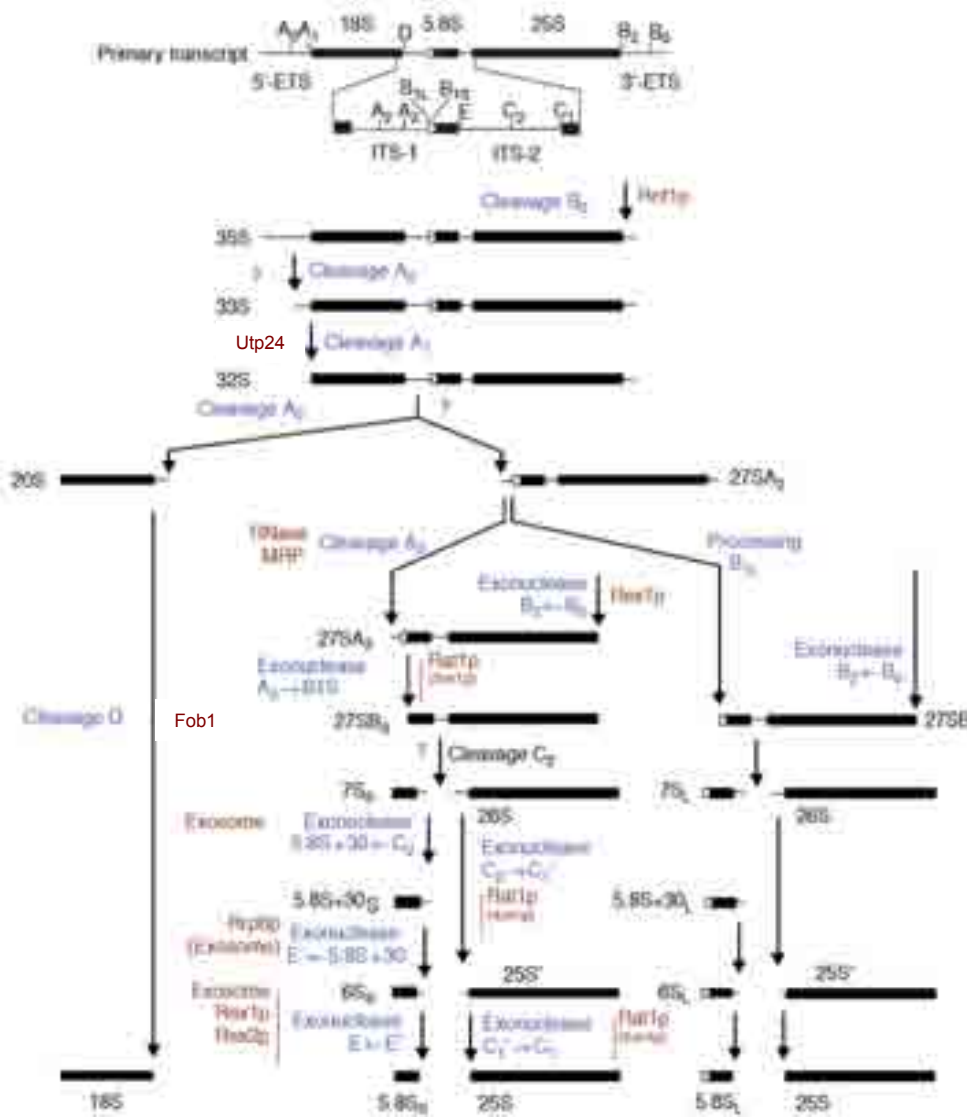
Miller's spreads – „Christmans tree”



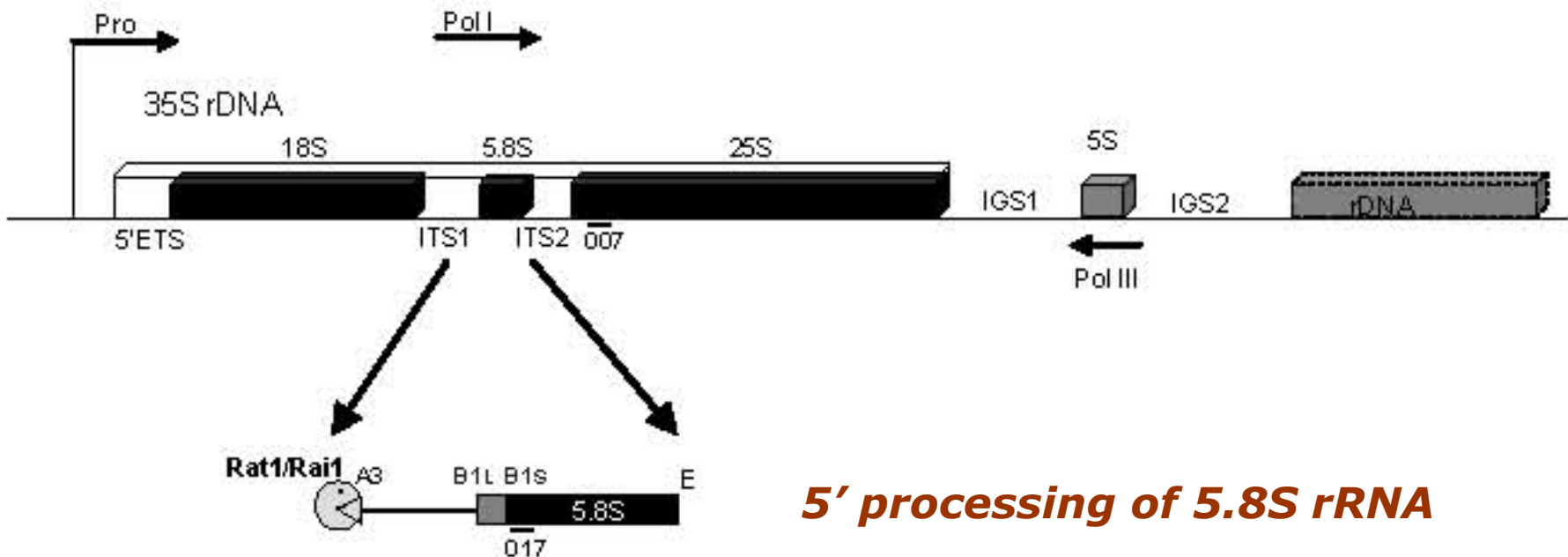
- **Pol I transkrybuje rybosomalny RNA (35S rRNA)**
- **Pol I RNA – ok. 80% całej aktywności transkrypcyjnej jądra komórkowego!!!**
- **U drożdży geny rDNA w 150-200 tandemowych powtórzeniach**

Góra: V.E. Foe, Cold Spring Harbor Symp.
Quant. Biol. 42:723-740, 1978; dół: Ulrich
Scheer, MBC on NCBI.

Dojrzewanie rRNA



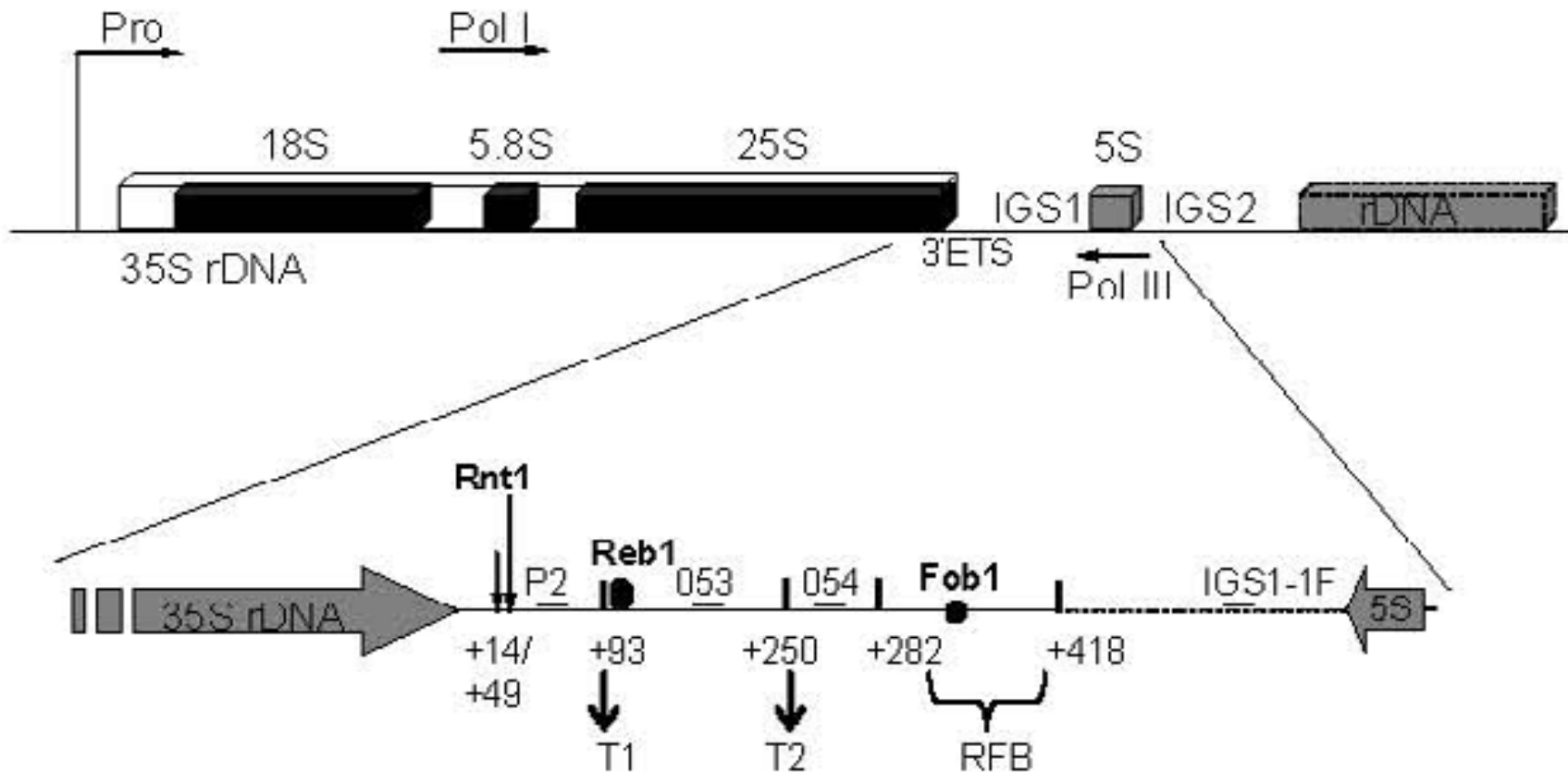
Schematic of an rDNA repeat in *S. cerevisiae*



5' processing of 5.8S rRNA

Ei Hage i wsp., Genes Dev., 2008, 15; 22(8)

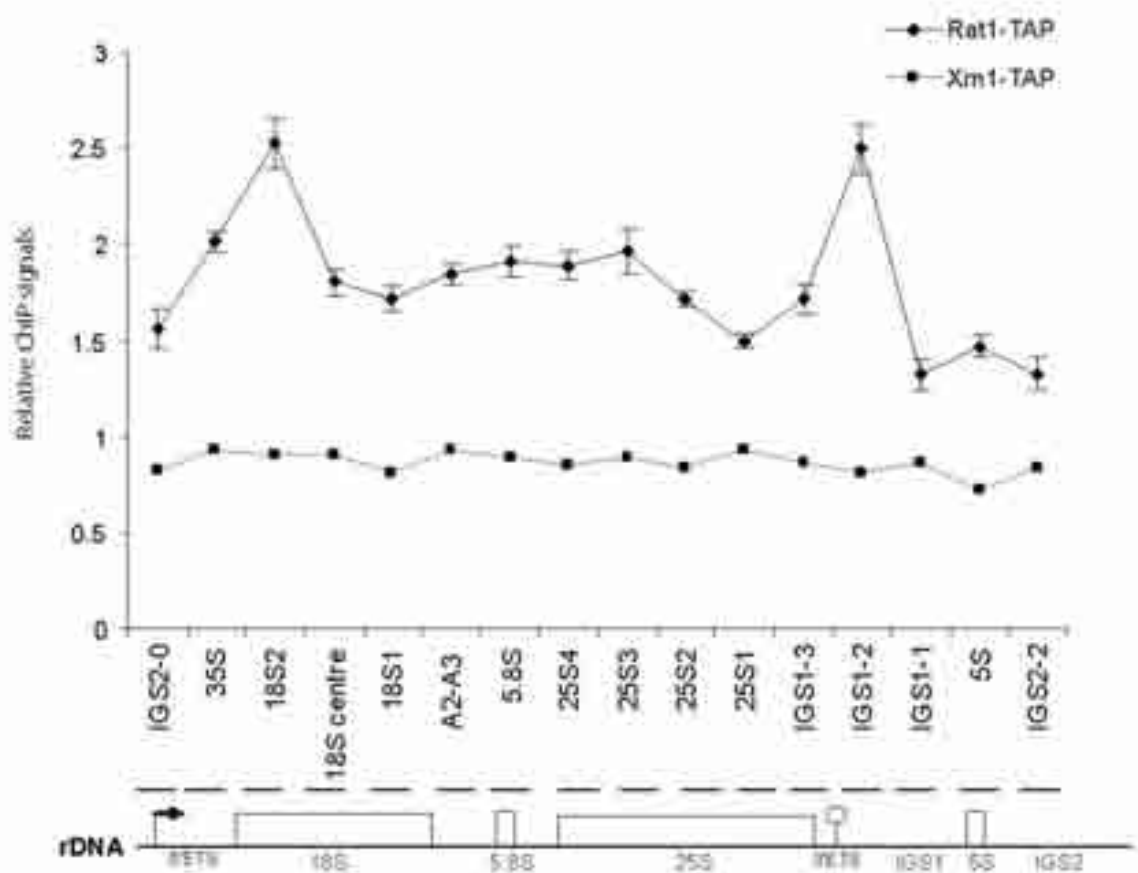
Schematic of an rDNA repeat in *S. cerevisiae* with detailed transcription termination region



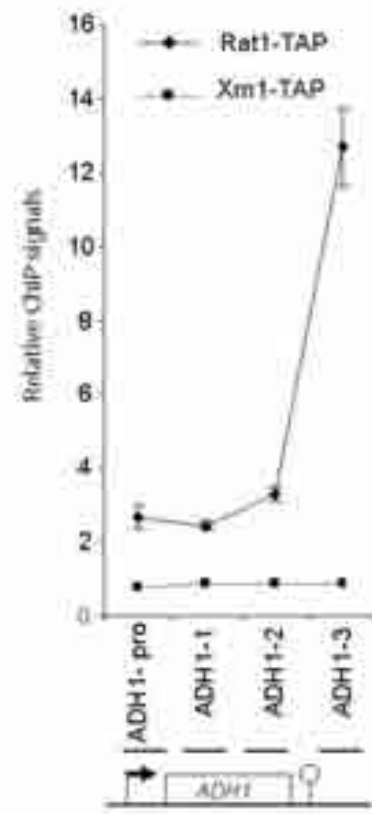
Ei Hage i wsp., Genes Dev., 2008, 15; 22(8)

Rat1 associates with the 3'-ETS region of the rDNA

A



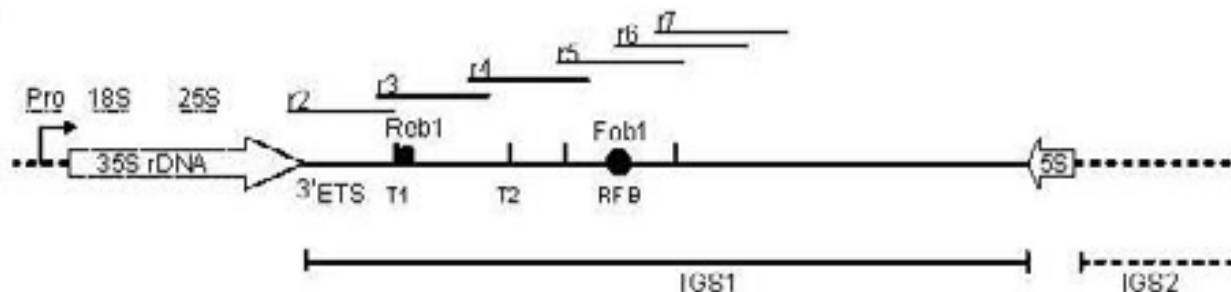
B



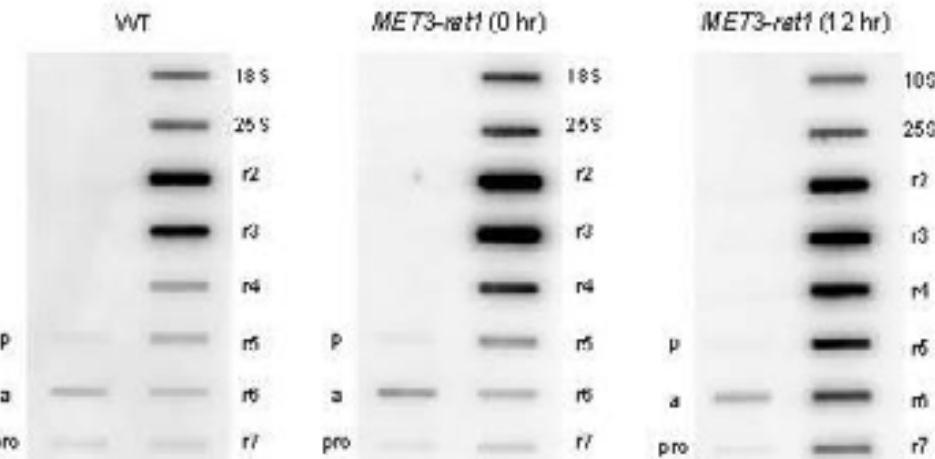
El Hage i wsp., Genes Dev., 2008, 15; 22(8)

Transcription run-on shows read-through of the major Pol I terminator in strains lacking Rat1 or Rai1

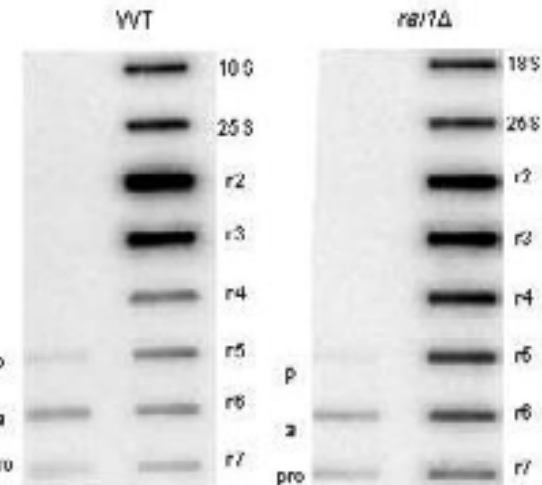
A



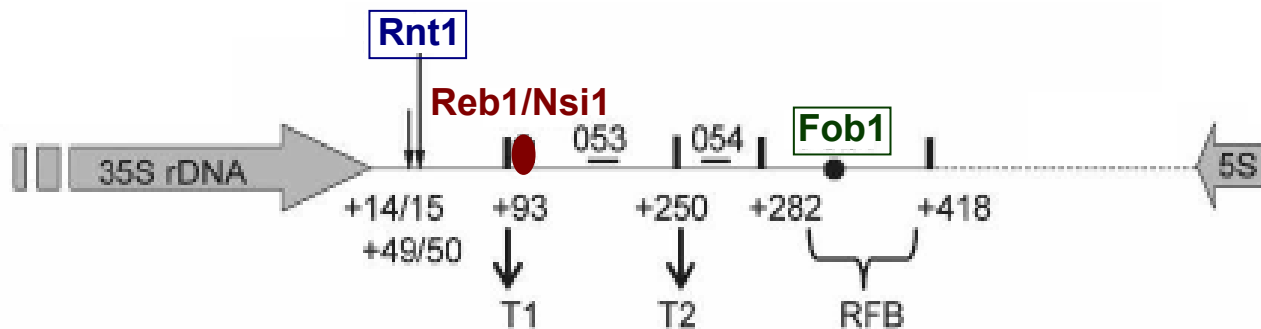
B



D



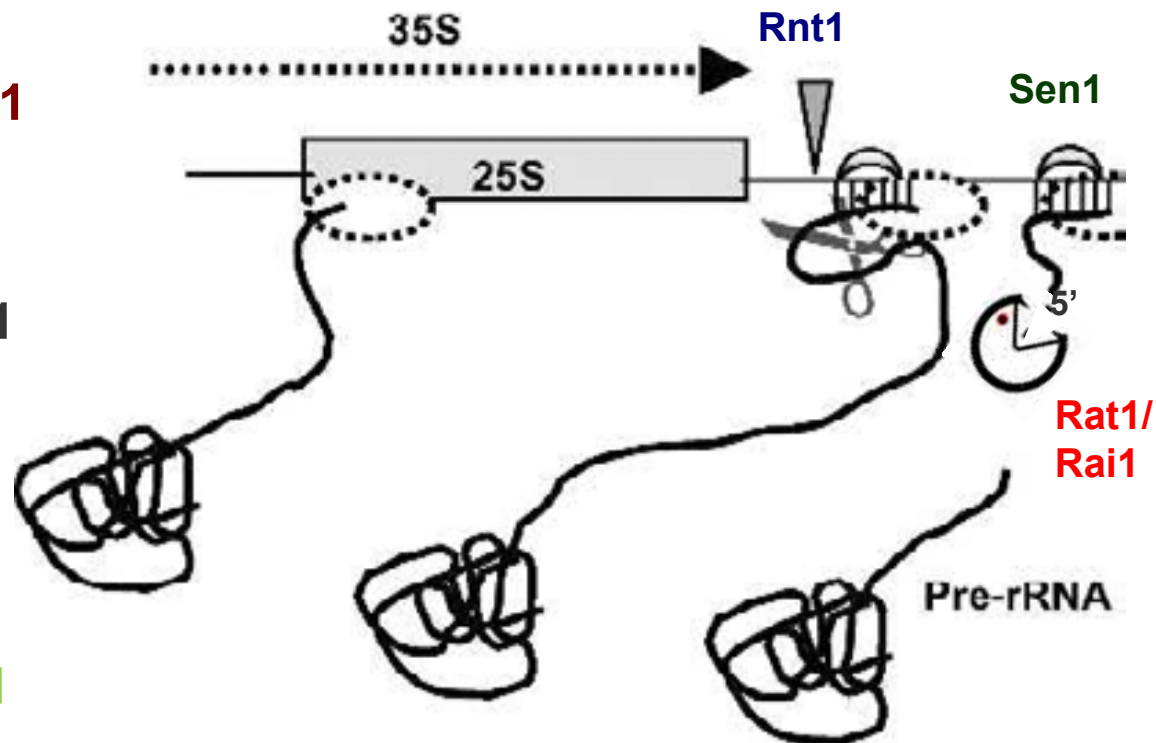
CZYNNIKI TERMINACJI POLIMERAZY RNA I



Pol I termination factors:

- **DNA-binding protein Reb1**
- **Pol I subunit Rpa12**
- **endonuclease Rnt1**
- **RFB binding protein Fob1**
- **5'-3' exonuclease Rat1**
+ Rai1 cofactor
(torpedo mechanism)
- **RNA helicase Sen1**
- **DNA-binding protein Nsi1**

(Reiter et al., EMBO J, 2012)

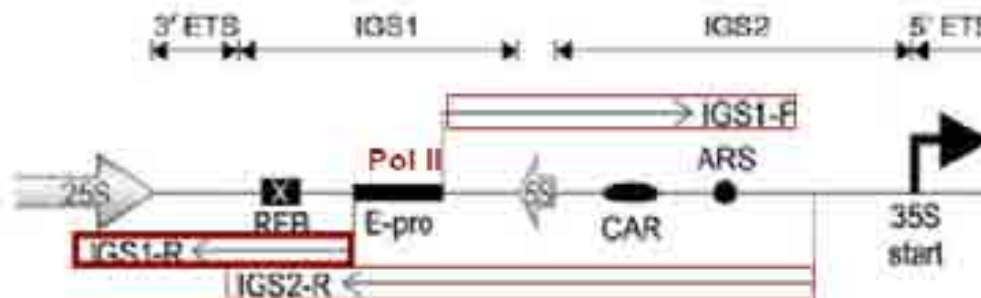


El Hage et al.; Kawauchi et al., Gene&Dev, 2008

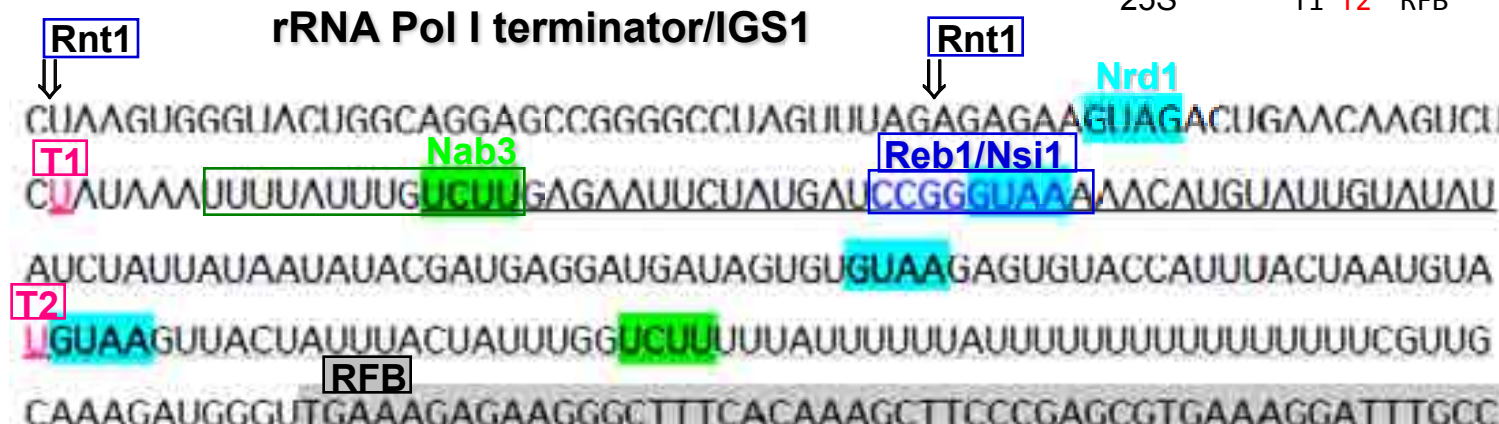
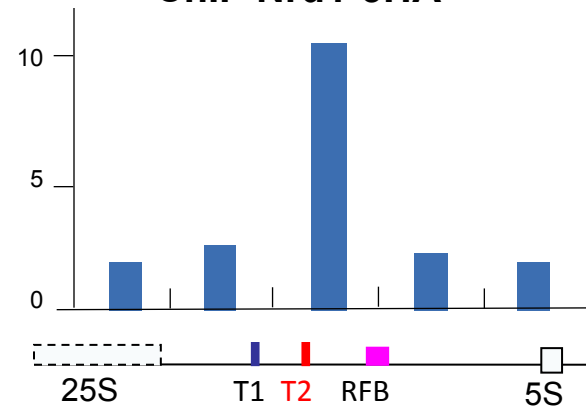
Reb1-INDEPENDENT Pol I TERMINATION?

- Depletion of Reb1 has little effect on transcription termination
- Sen1 contributes to Pol I termination
- Nrd1 associates with rDNA IGS1
 - Pol II transcripts are generated within IGS1 and IGS2
 - IGS1-R anti-sense to 35S pre-rRNA terminates in the Nrd1/Nab3 pathway

(Kawauchi et al., *Gene&Dev*, 2008;
Houseley et al., *EMBO J*, 2007;
Vasiljeva et al., *Mol. Cell* 2008);

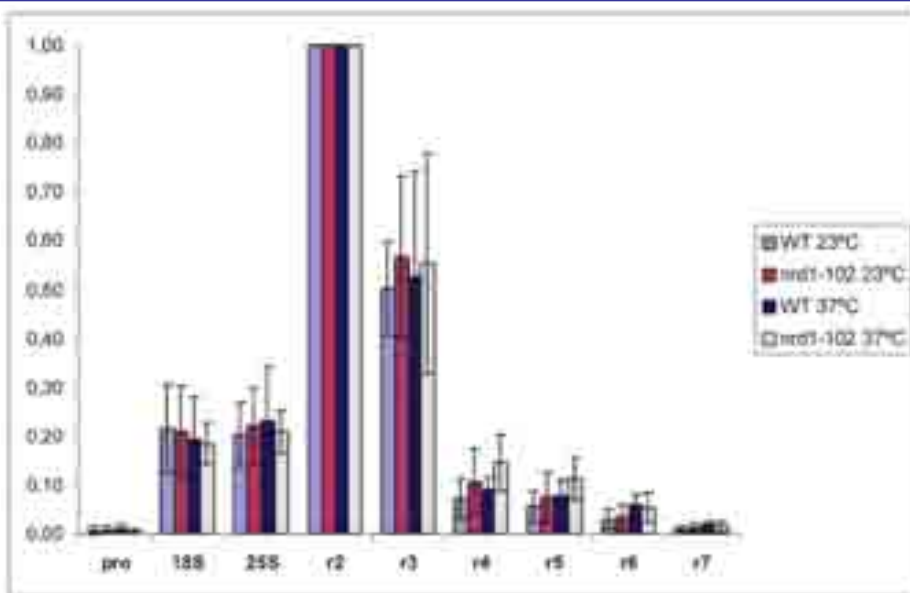


ChIP Nrd1-3HA

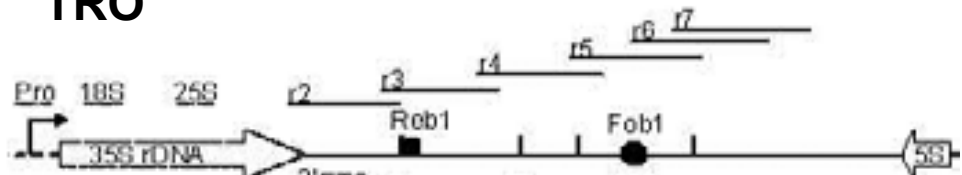


Ei Hage and Tollervey

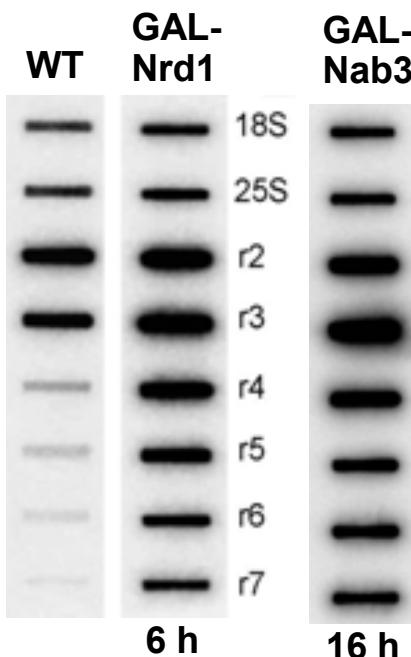
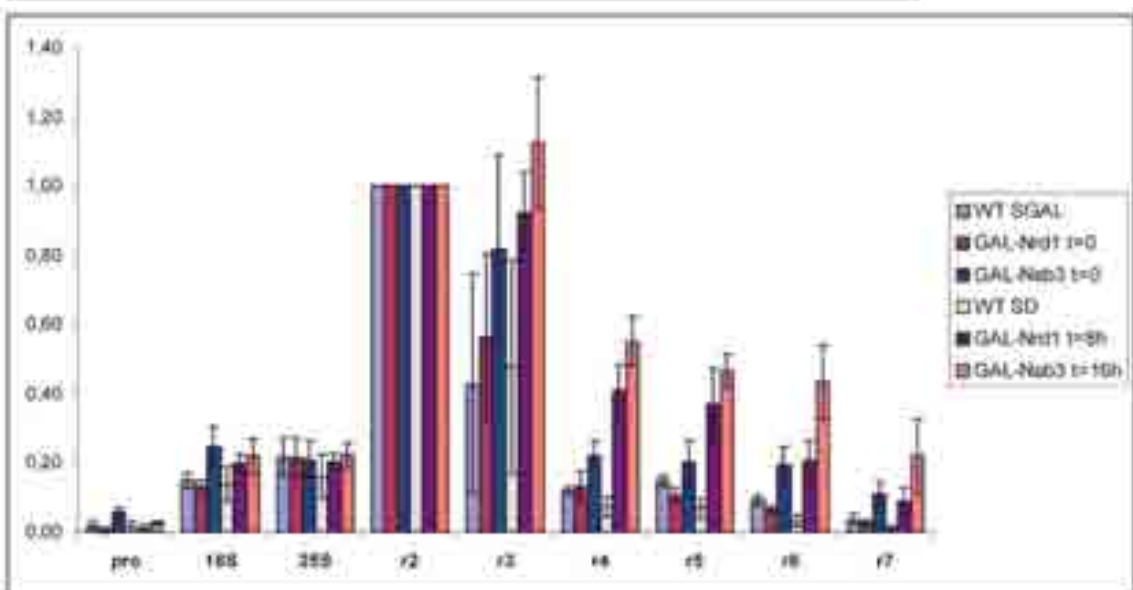
Pol I TERMINATION: Nrd1/Nab3



TRO



Transcriptional readthrough detected by TRO in *nrd1-102* mutant (RRM domain)

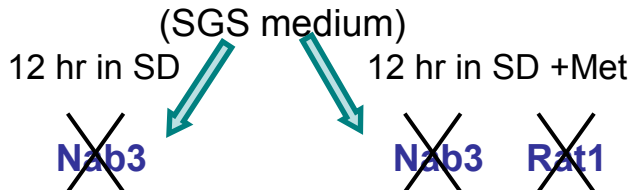


Depletion of Nrd1 or Nab3 results in a marked Pol I termination defect

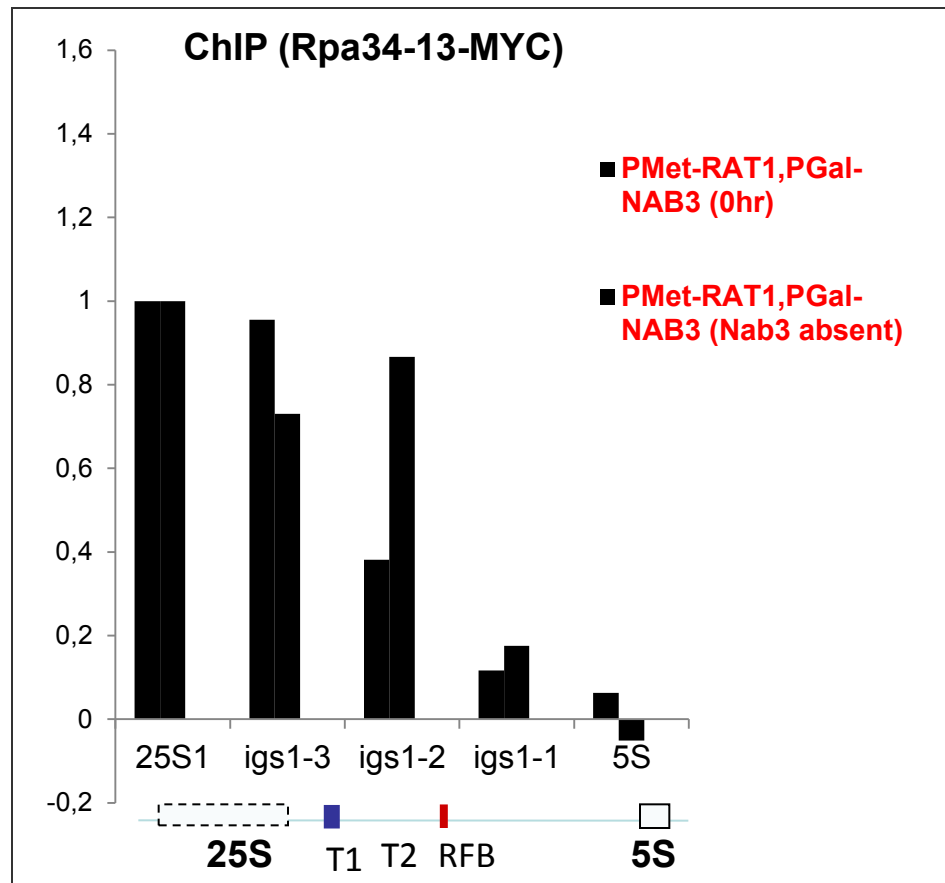
Pol I TERMINATION: Nrd1/Nab3

Pol I ChIP Rpa34-myc

MET3-RAT1, GAL10-NAB3



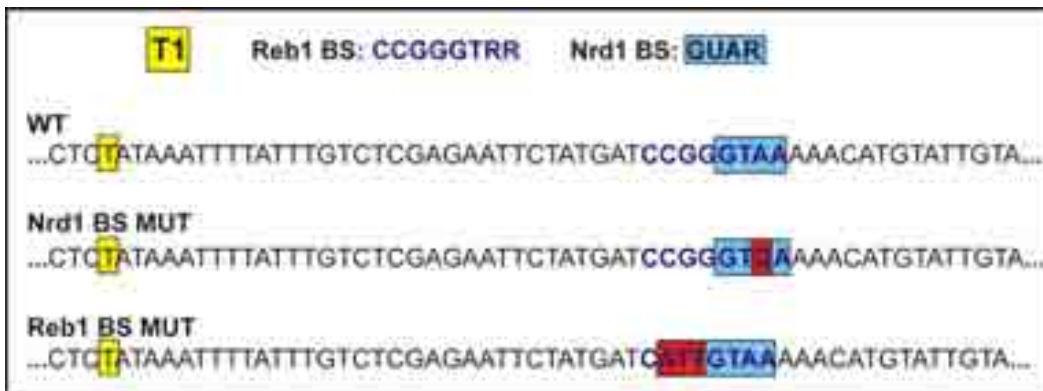
EI Hage & Tollervy



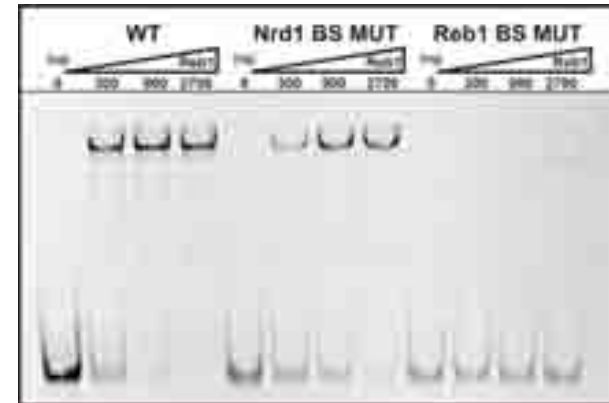
Pol I occupancy downstream of T1 terminator increases on depletion of Nab3
This effect is exacerbated by additional depletion of Rat1

Reb1 AND Nrd1/Nab3 CONTRIBUTE EQUALLY TO Pol I TERMINATION:

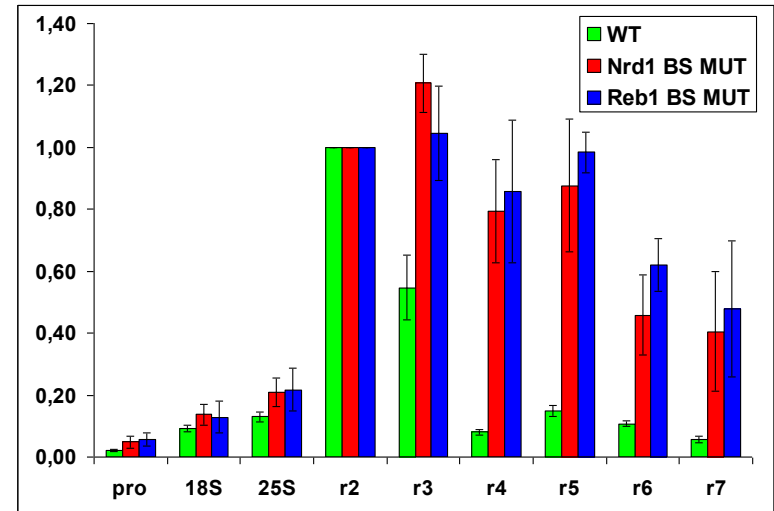
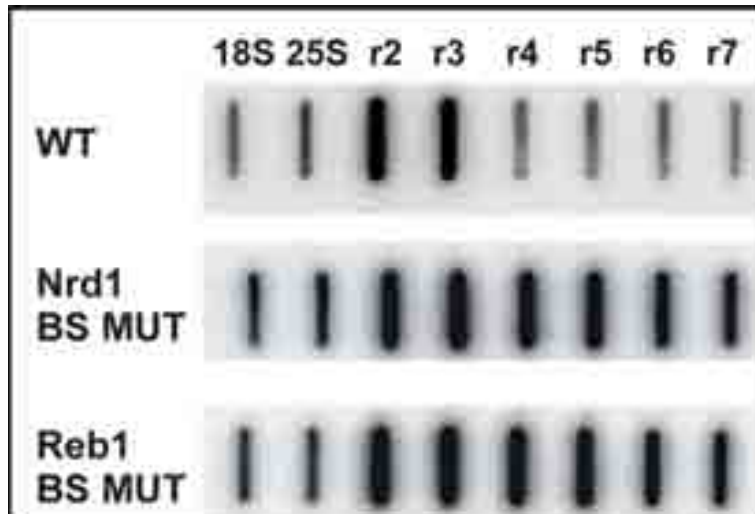
rDNA terminator mutants



Reb1 binding to IGS1 variants (EMSA)



TRO profiles of mutated terminators

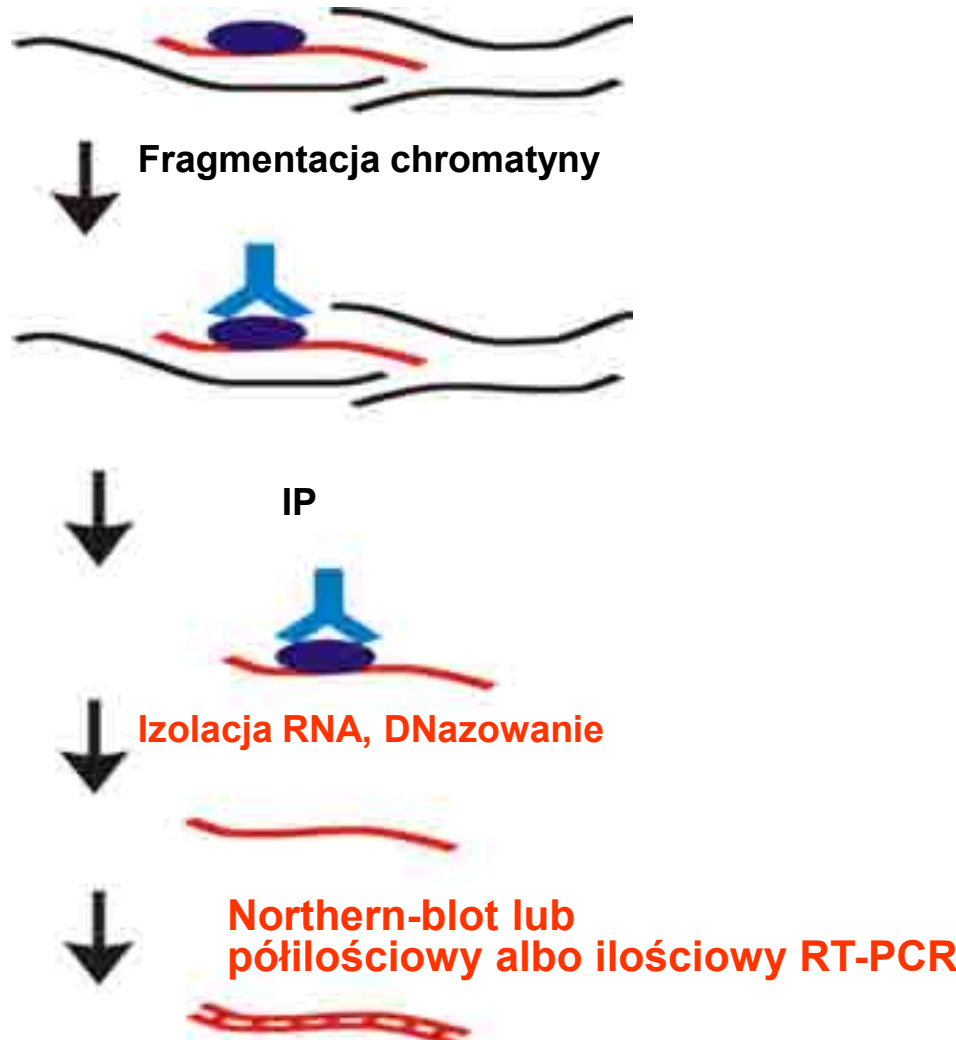


Mutations of Nrd1 or Reb1 binding sites cause strong Pol I readthrough

Immunoprecypitacja RNA - RIP

Immunoprecypitacja RNA jest podobNA do ChIP

„cross-link” DNA/RNA-białka

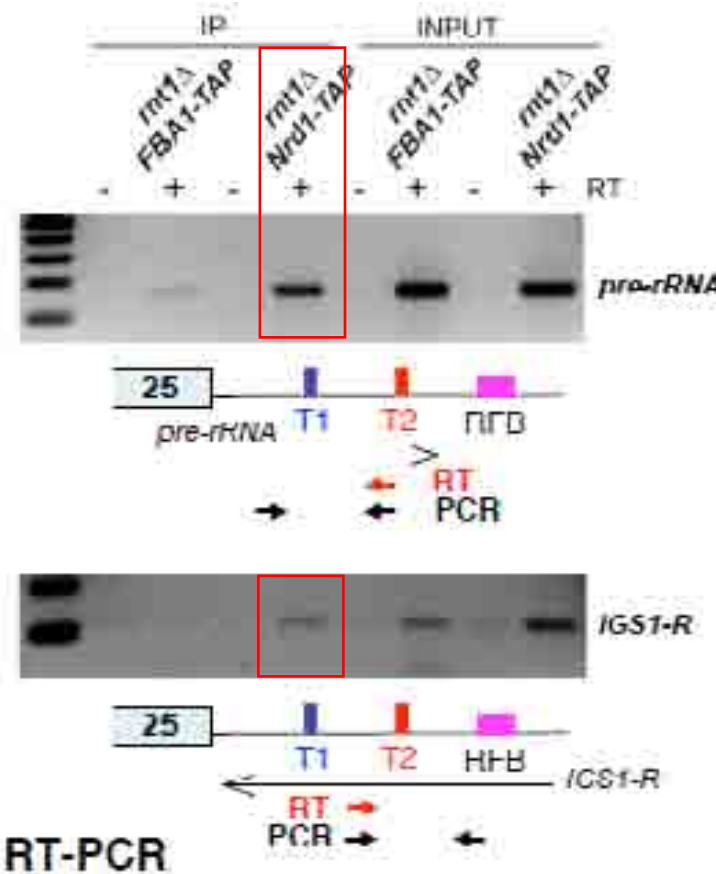


Nrd1 BINDS TO IGS1 IN pre-rRNA

RIP with formaldehyde crosslink

Nrd1-TAP in the absence of Rnt1

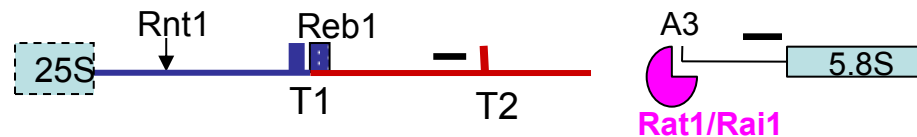
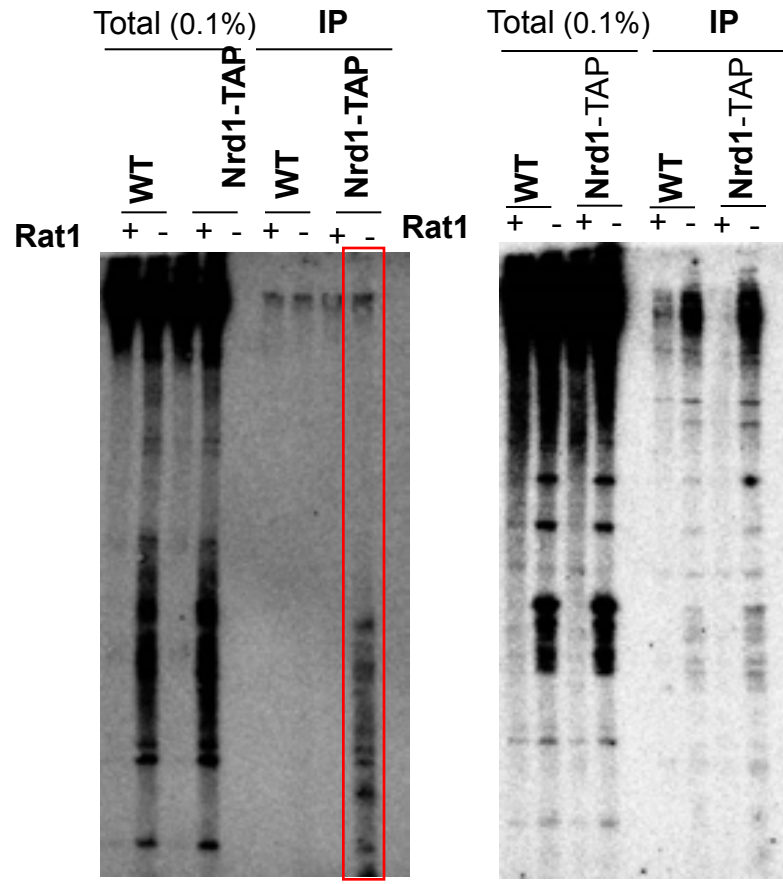
(Nrd1-TAP *rnt1Δ* strain)



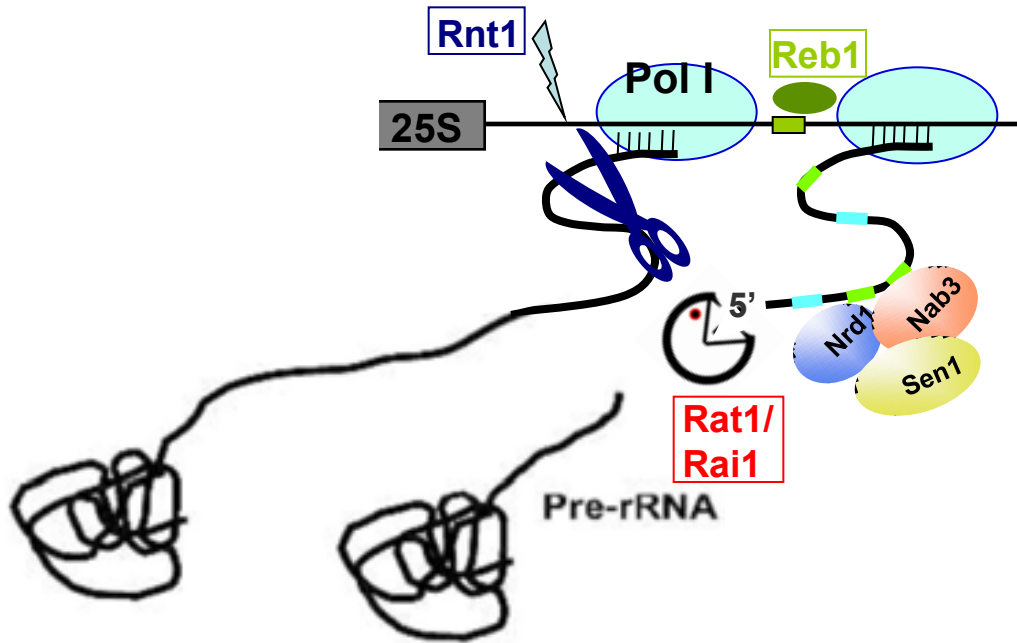
RNA IP

Nrd1-TAP in the absence of Rat1

(Nrd1-TAP *MET3::Rat1/xrn1Δ* strain)

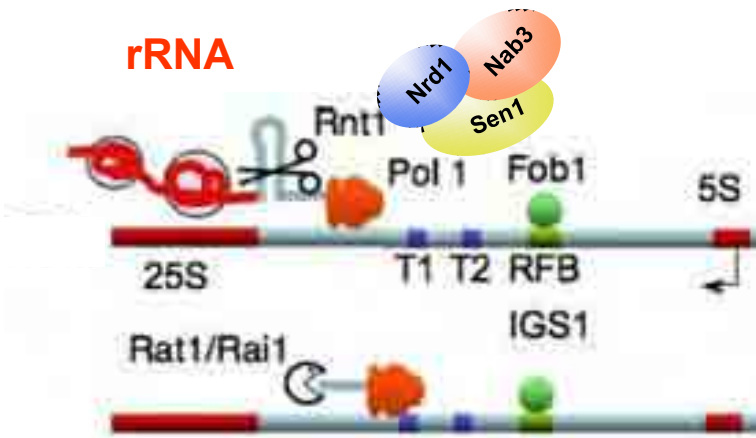
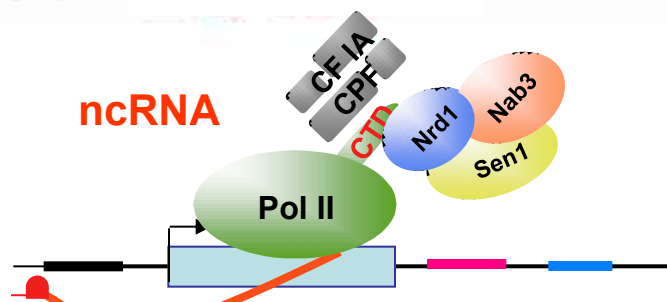
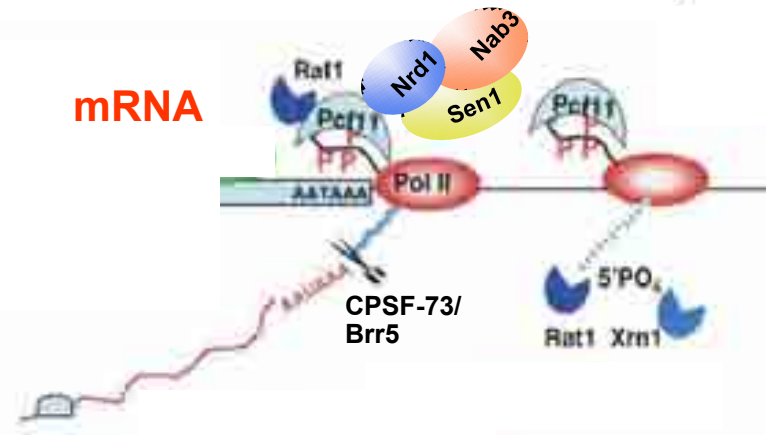


MODEL of Pol I TERMINATION



- Relative contribution of each termination component
 - Rat1/Rai1 and Nrd1/Nab3 represent separate mechanisms (additive defects)
- Additional elements (other DNA- or RNA- binding proteins?)
- Links with rDNA silencing

CONCLUSIONS



Pathways for transcription termination by different polymerases, Pol I and II, utilize overlapping factors and mechanisms

PODSUMOWANIE TECHNIK

Poziom RNA w komórce jest wypadkową jego syntezy i degradacji.

Sam fakt, że polimeraza RNA jest związana z DNA nie oznacza, że transkrybuje RNA.

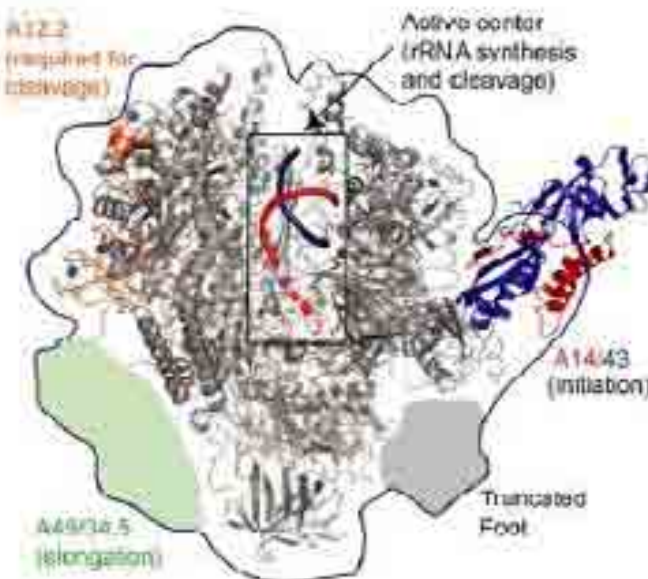
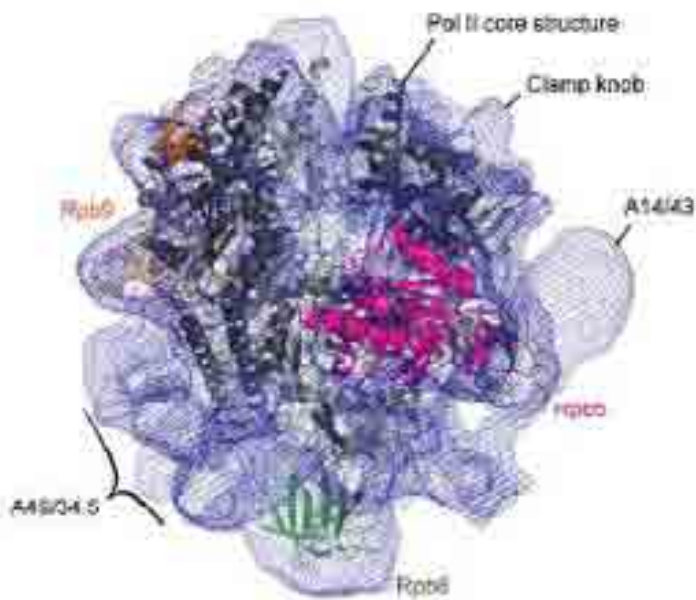
Aby badać transkrypt w chwili jego powstawania należy zastosować różne techniki molekularne:

- **TRO pozwala badać jakościowo i ilościowo „bieżąca” transkrypcję.**
- **ChIP pozwala badać *in vivo* oddziaływanie białek z DNA.**
- **RIP pozwala badać *in vivo* oddziaływanie białek z RNA.**

**DZIĘKUJĘ
ZA
UWAGĘ**

Suplement – ilościowy TRO

Eukariotyczna RNA Pol I



Kuhn et al, Cell, 2007 (Cramer's lab)

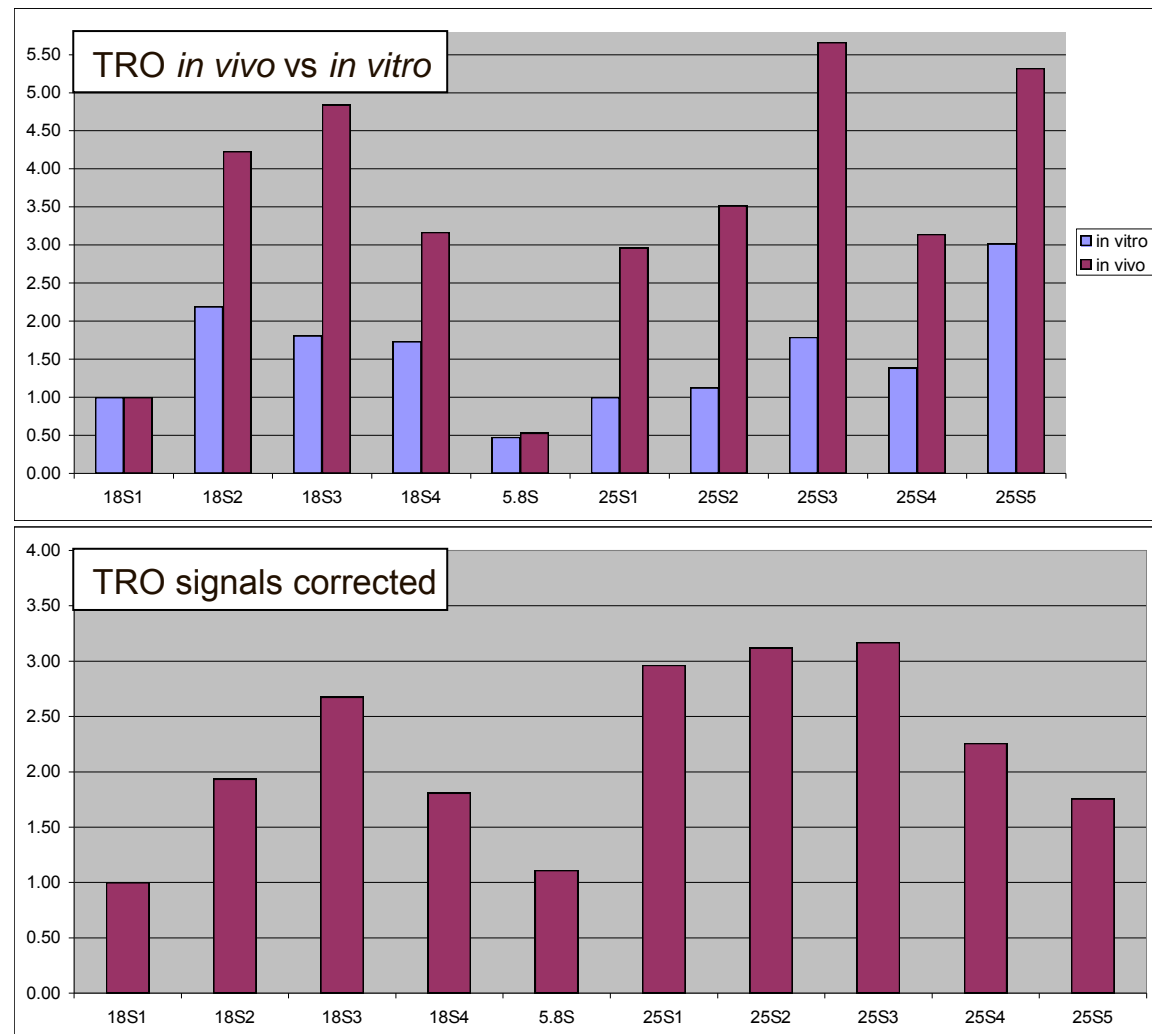
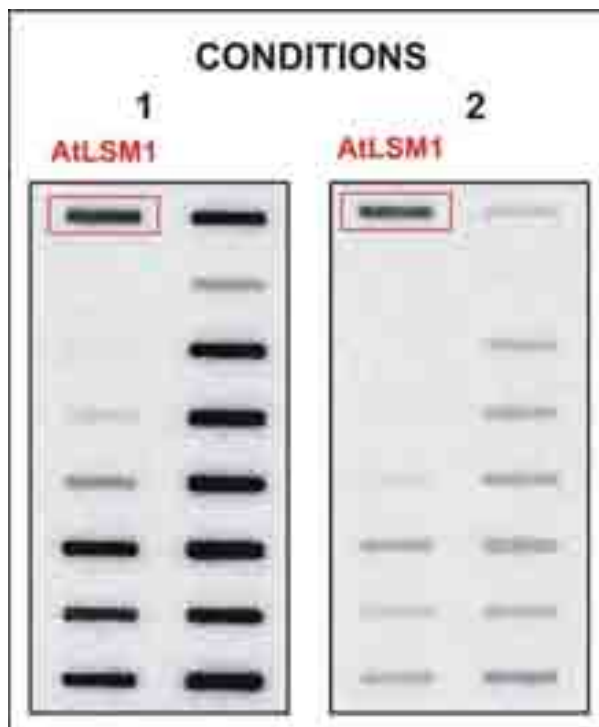
- 14 subunits
- core by specific **A190, A135, AC40, AC19, A12.2** subunits
- **Rpb5-6, 8, 10 and 12** - shared by Pol I-III
- specific subcomplexes **A14/A43** and **A49/A34.5**
- **no CTD**
- has intrinsic 3' RNA cleavage activity (**A12.2/Rpa12**) - possible roles in proofreading and **transcription termination**

Profile transkrypcji rRNA

TRO - using oligo probes against mature rRNAs

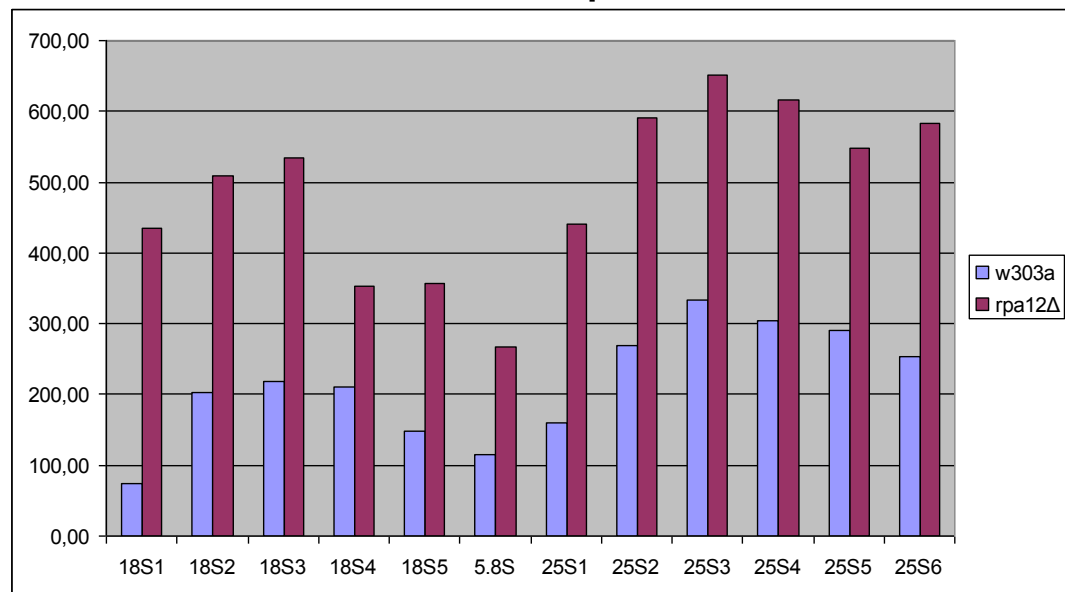
- standardized against exogenous hot *in vitro* transcribed RNA (**SPIKE: AtLSM1**)
- standardized against hybridization using hot *in vitro* transcribed 35S pre-rRNA

W303a rRNA transcription profiles standarized vs 18S1



rRNA transcription rate by TRO in *rpa12Δ*

rRNA transcription

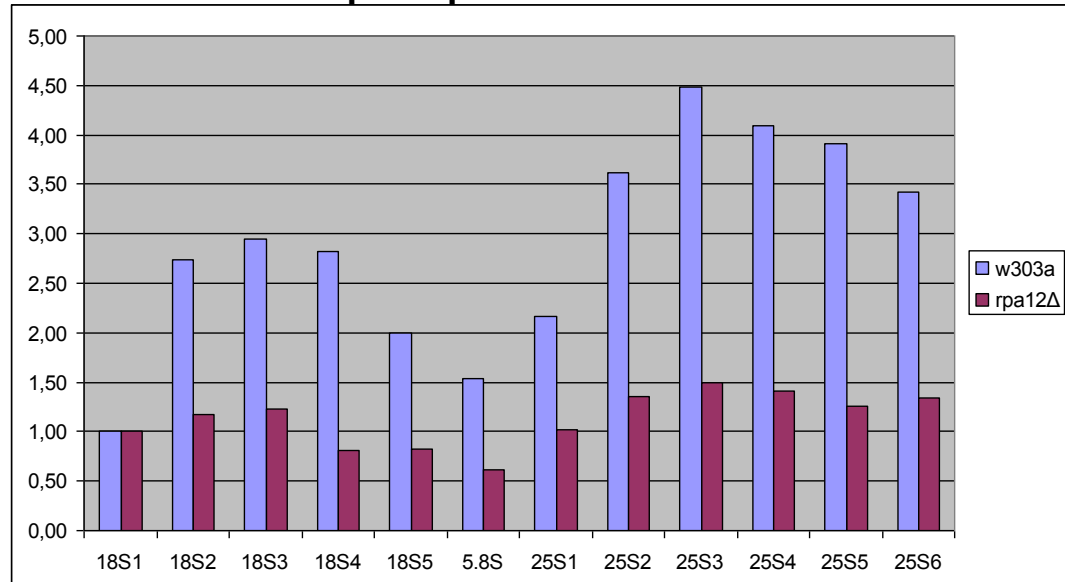


Pol I subunit, minor growth effect,
interacts with Rnt1
no pre-rRNA processing defect

Probe *rpa12Δ/w303a*

scr1	10,45
5S	8,19
18S1	5,85
18S2	2,50
18S3	2,44
18S4	1,68
18S5	2,40
5.8S	2,33
25S1	2,75
25S2	2,20
25S3	1,95
25S4	2,02
25S5	1,88
25S6	2,30

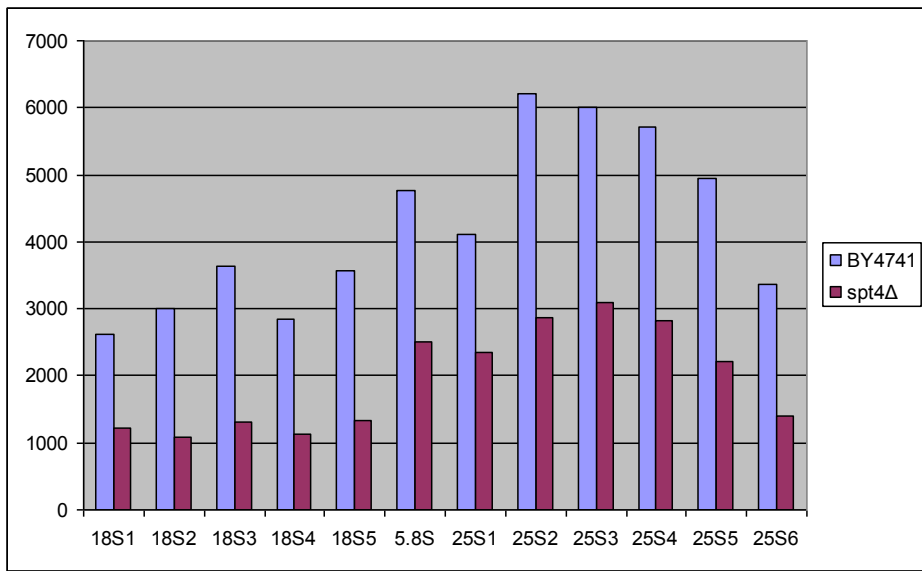
rRNA transcription profiles standarized vs 18S1



	MEAN	SD
18S	2,98	1,64
25S	2,18	0,32
18S+25S	2,54	1,14

rRNA transcription rate by TRO in *spt4Δ*

rRNA transcription

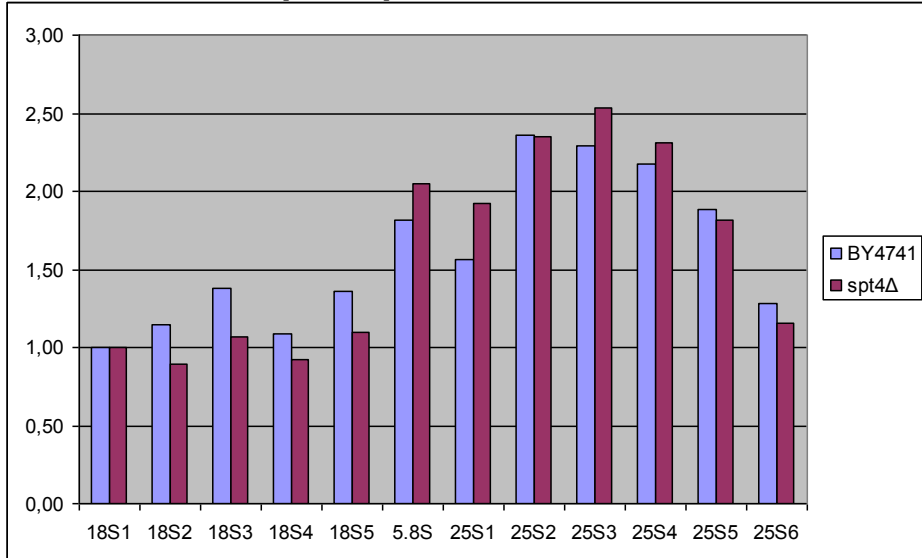


Pol II and I elongation factor,
minor growth effect, ts at 37°C,
pre-rRNA processing defect,
Total RNA synthesis rate is 70% of wt
(Schneider et al., PNAS 2006)

Probe spt4Δ/BY4741

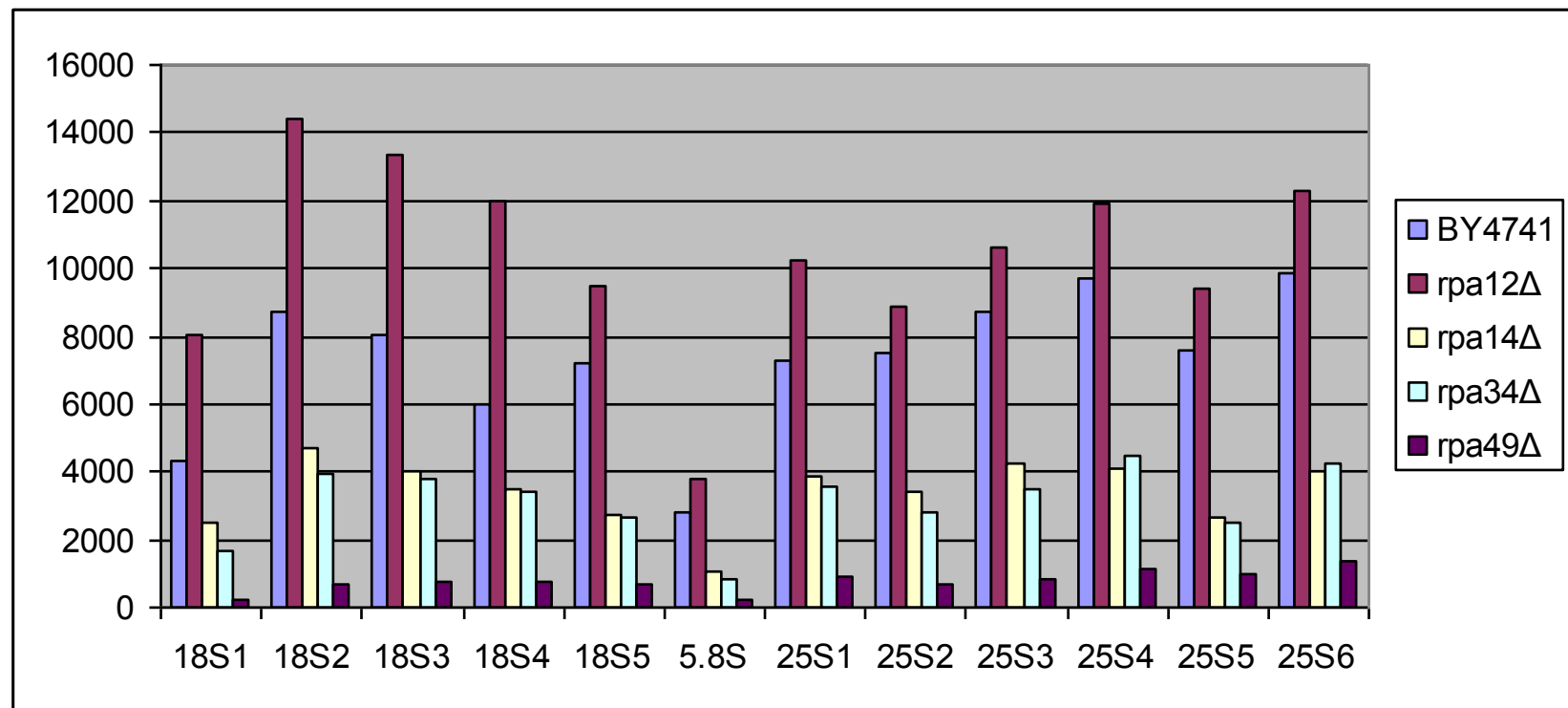
scr1	0,29
5S	0,32
18S1	0,46
18S2	0,36
18S3	0,36
18S4	0,39
18S5	0,37
5.8S	0,52
25S1	0,57
25S2	0,46
25S3	0,51
25S4	0,49
25S5	0,45
25S6	0,42

rRNA transcription profiles standarized vs 18S1



	Mean	SD
18S	0,39	0,04
25S	0,48	0,05
18S+25S	0,44	0,07

rRNA transcription in Pol I subunits mutants



rpa12Δ/BY4147

	src1	Mean	SD
5S	0,95	1,15	
18S	0,26	0,26	
25S	0,07	0,07	
18S+25S	0,31	1,46	

rpa14Δ/BY4147

	src1	Mean	SD
5S	0,49	0,44	
18S	0,08	0,52	
25S	0,06	0,44	
18S+25S	0,07	0,47	

rpa34Δ/BY4147

	src1	Mean	SD
5S	0,40	0,40	
18S	0,08	0,45	
25S	0,06	0,41	
18S+25S	0,06	0,43	

rpa49Δ/BY4147

	src1	Mean	SD
5S	0,00	0,23	
18S	0,09	0,09	
25S	0,12	0,12	
18S+25S	0,05	0,10	